



laboratórium  
Molekulárnej  
Ekológie a  
Metagenomiky

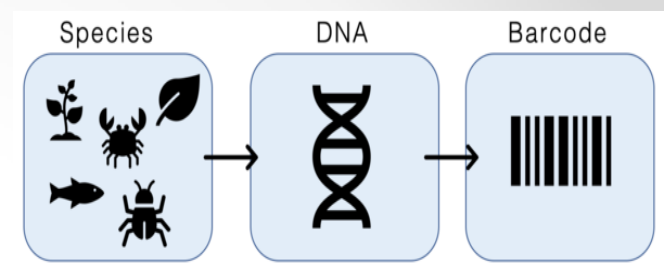
Slavomír Adamčík

# Postavenie a význam pôdnych mikroorganizmov v OP



Centrum biológie rastlín a  
biodiverzity SAV

# Barcoding



- DNA barcoding – identifikácia druhov na základe analýzy krátkych úsekov sekvencií (ca 800-1200 bp)
- cieľom je identifikovať neznáme vzorky celých organizmov alebo ich častí
- je potrebné stanoviť hranice druhov v barcode
- termín zavedený Hebert et al. (2003): standardized species identification as well as assignment of the unidentified sequences to higher taxonomic ranks (orders, phyla...)
- pravidlá Barcode
  - vysoká medzidruhová variabilita v porovnaní s nízkou vnútrodruhovou (barcode gap)
  - ohraničenie vysoko konzervatívnymi úsekmi vhodnými na dizajn efektívnych primerov
  - dĺžka barcode regiónu umožňuje PCR amplifikáciu a sekvenáciu bez odchýlok
  - cieľový barcode región má vysokú úspešnosť PCR amplifikácie

# Barcoding



plasmid gény (e.g. *rbcL*, *matK* and non coding region of *trnH-psbAa* tiež ribosomal nuclear DNA (internal transcribed spacer nrITS)

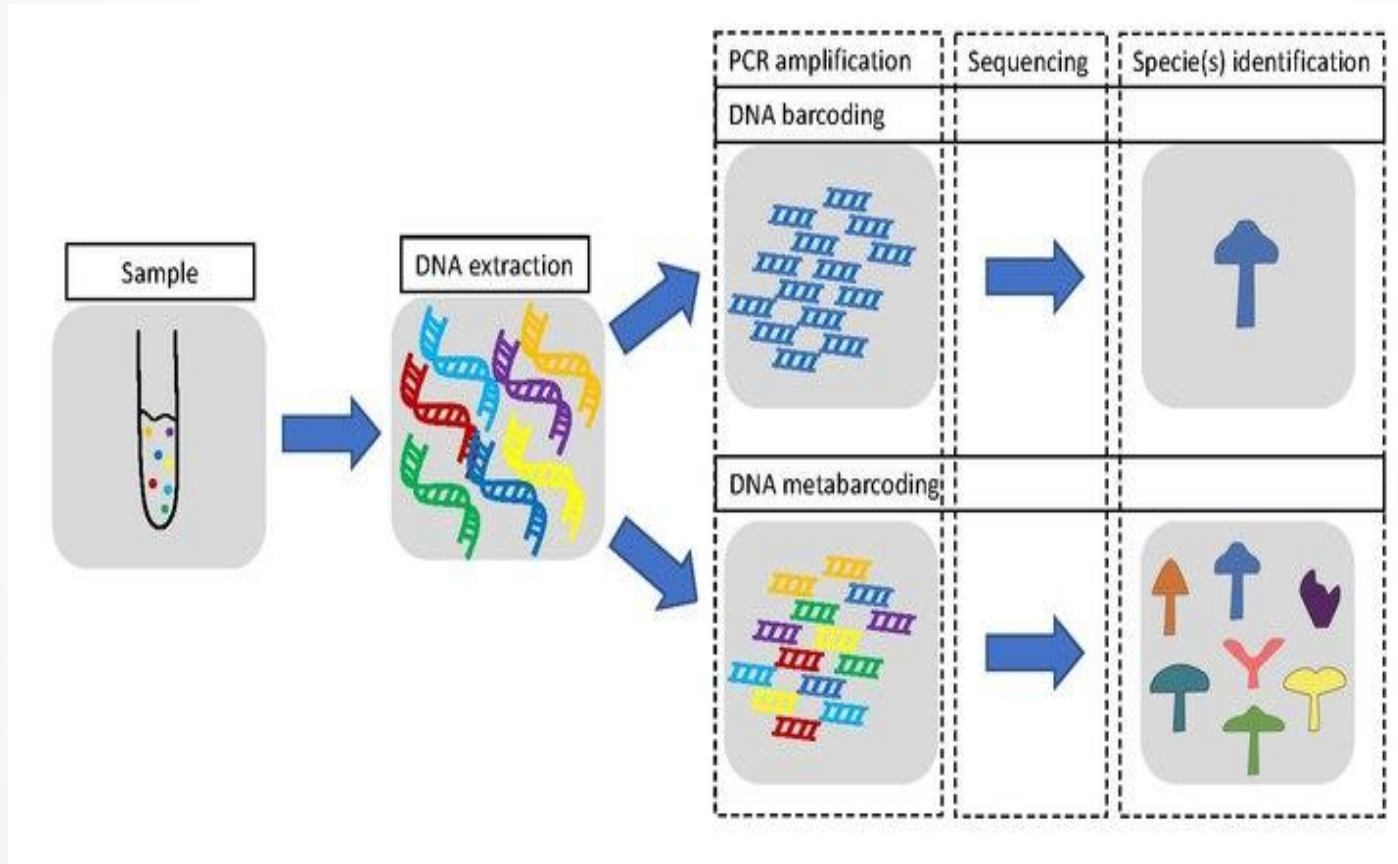


mitochondrial cytochrome *c* oxidase 1 gene (“CO1”)



ribosomal nuclear DNA (internal transcribed spacer nrITS)

# DNA barcoding vs DNA metabarcoding

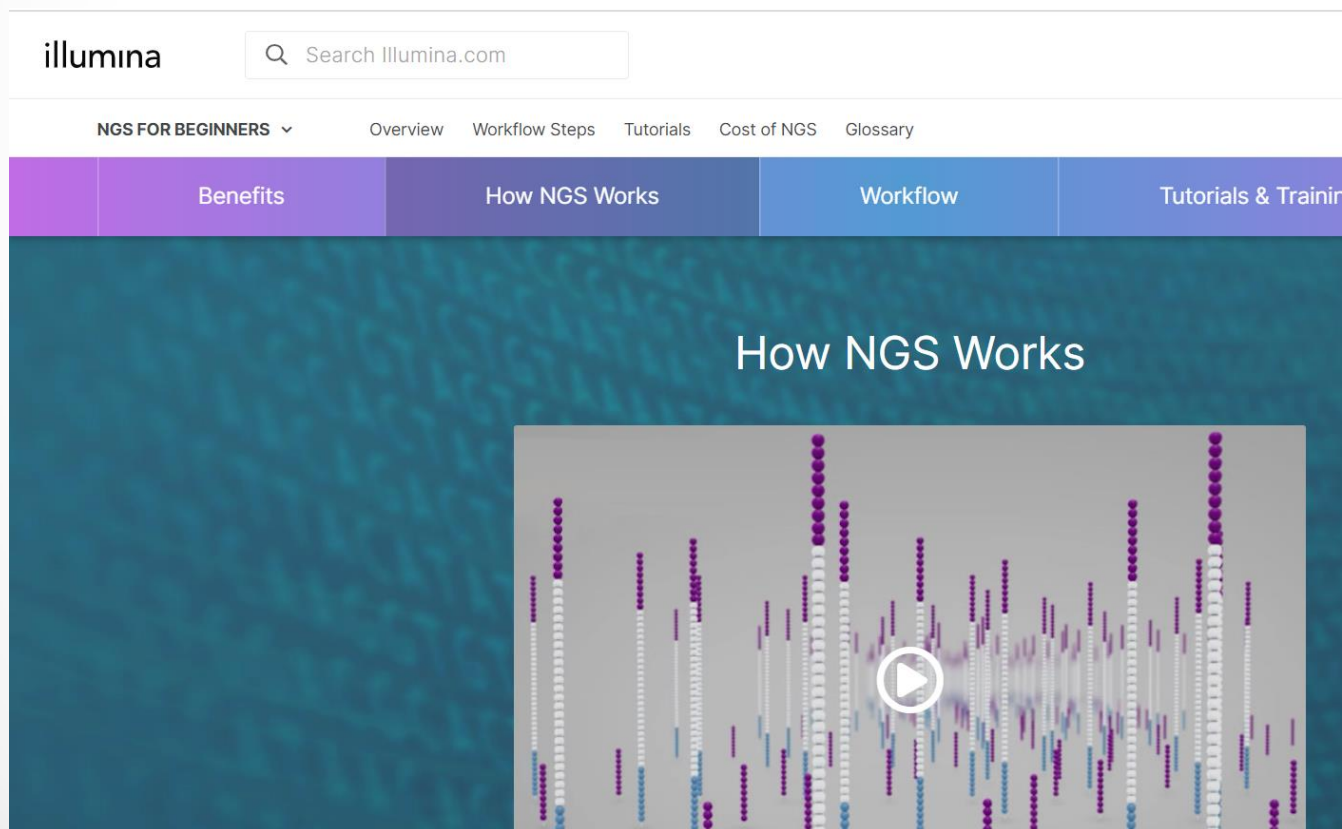


# Metabarcoding

- Taberlet et al. (2012): zaviedol termín **DNA metabarcoding** na pomenovanie identifikácie širokého spektra druhov pomocou high-throughput sequencing (NGS) vzoriek environmentálnej DNA (eDNA)
- pôvodne bola identifikácia širokého spektra mikroorganizmov mikrobiálnych komunit (microbiome) z environmentálnej DNA označená termínom metagenomic
- v súčasnosti sú tieto termíny rozlišované
  - Metabarcoding: štúdium **vybraných regiónov** v eDNA za použitia amplicon sekvenácie, štúdie zamerané na **diverzitu organizmov**
  - Metagenomics: štúdium **celého genómu alebo jeho veľkých častí** v eDNA za použitia "shotgun" sekvenácie, štúdie zamerané na **funkčnú diverzitu** mikrobiálnych spoločenstiev

# Illumina sekvenovanie, príklad

<https://www.illumina.com/science/technology/next-generation-sequencing/beginners.html>



The screenshot displays the Illumina website's navigation and content structure. At the top left is the 'illumina' logo. To its right is a search bar with the placeholder text 'Search Illumina.com'. Below the search bar is a horizontal menu with the following items: 'NGS FOR BEGINNERS' (with a dropdown arrow), 'Overview', 'Workflow Steps', 'Tutorials', 'Cost of NGS', and 'Glossary'. A secondary navigation bar features five colored buttons: 'Benefits' (purple), 'How NGS Works' (dark blue), 'Workflow' (medium blue), and 'Tutorials & Training' (light blue). The main content area has a dark teal background with the title 'How NGS Works' in white. Below the title is a video player showing a visualization of DNA sequencing data as vertical bars of colored dots (purple, blue, green, red) on a grey background. A white play button is centered over the video.

# amplikókové sekvenovanie

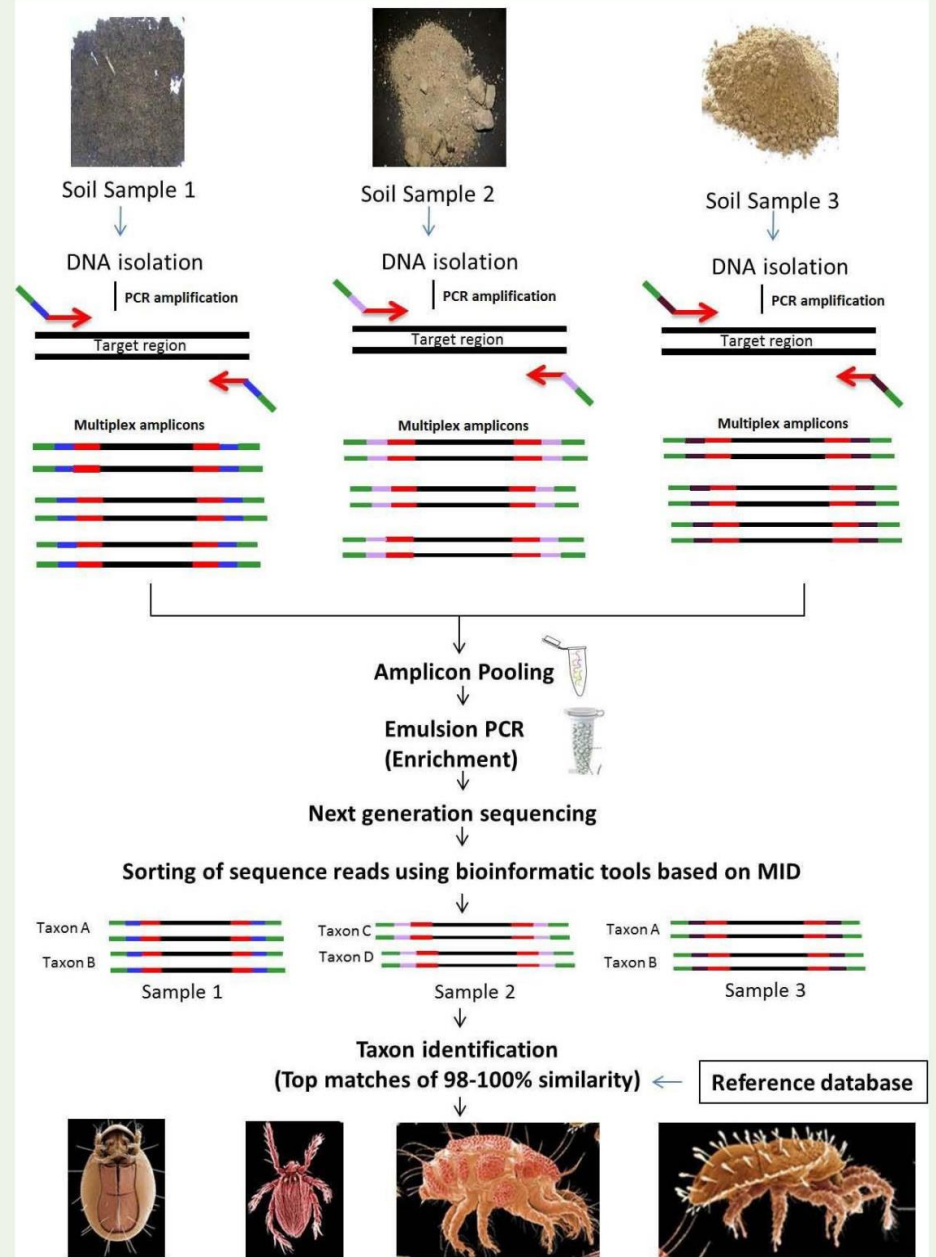
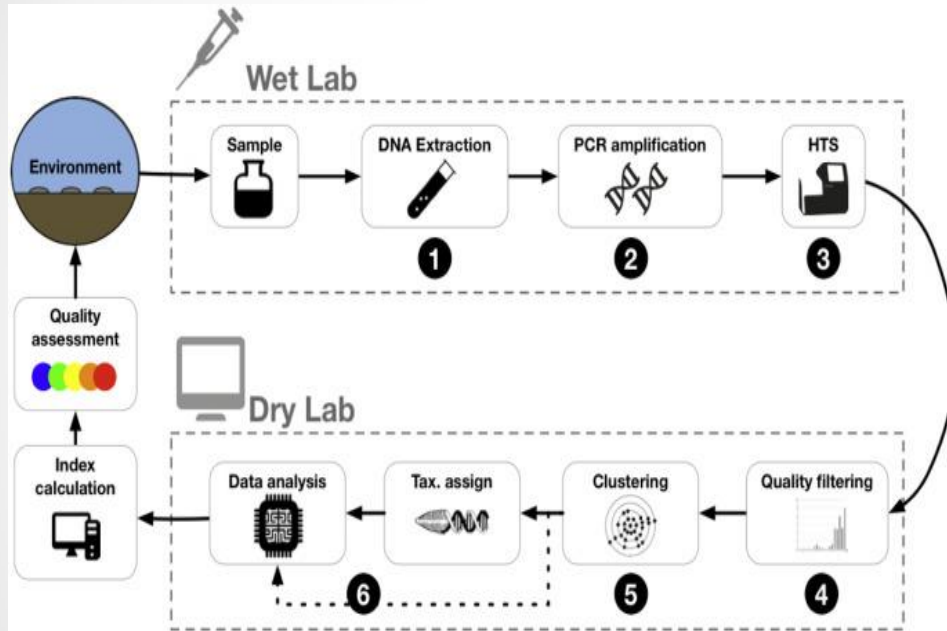


Figure 1: DNA metabarcoding methodology.

# porovnanie sekvenačných platform

Comparison of three leading commercial sequencers.

Company	Platforms	Sequencing chemistry	Read length/Output	Advantages	Disadvantages
Roche	454 FLX Titanium 454 FLX+	Pyrosequencing	700–1000 bp/0.7Gb 600 bp/450Mb	Long read length	Expensive
ILLUMINA	GAIIX  HiSeq 1000 HiSeq 1500 HiSeq 2000 HiSeq 2500 HiSeq 3000 HiSeq 4000 HiSeqX ten NovaSeq5000 NovaSeq6000	Sequencing by synthesis	2 × 50 bp/30Gb  2 × 100 bp/35Gb 2 × 100 bp/60Gb 2 × 100 bp/150–200Gb 2 × 150 bp/150–180Gb 2 × 150 bp/650–750Gb 2 × 150 bp/13000–1500Gb 2 × 150 bp/1.6–1.8Tb 2 × 150 bp/2000Gb 2 × 150 bp/6000Gb	Highest throughput  Low sequencing cost High capacity of multiplexing	Short reads, large structural variations
Life Technologies	SOLiD 4  SOLiD 5500 SOLiD 5500xl SOLiD 5500W SOLiD 5500xlW	Sequencing by ligation	35–50 bp/120Gb  35–75 bp/15Gb 75 bp/160Gb 2 × 50 bp/160Gb 2 × 50 bp/320Gb	Highest accuracy	Expensive, longer run time

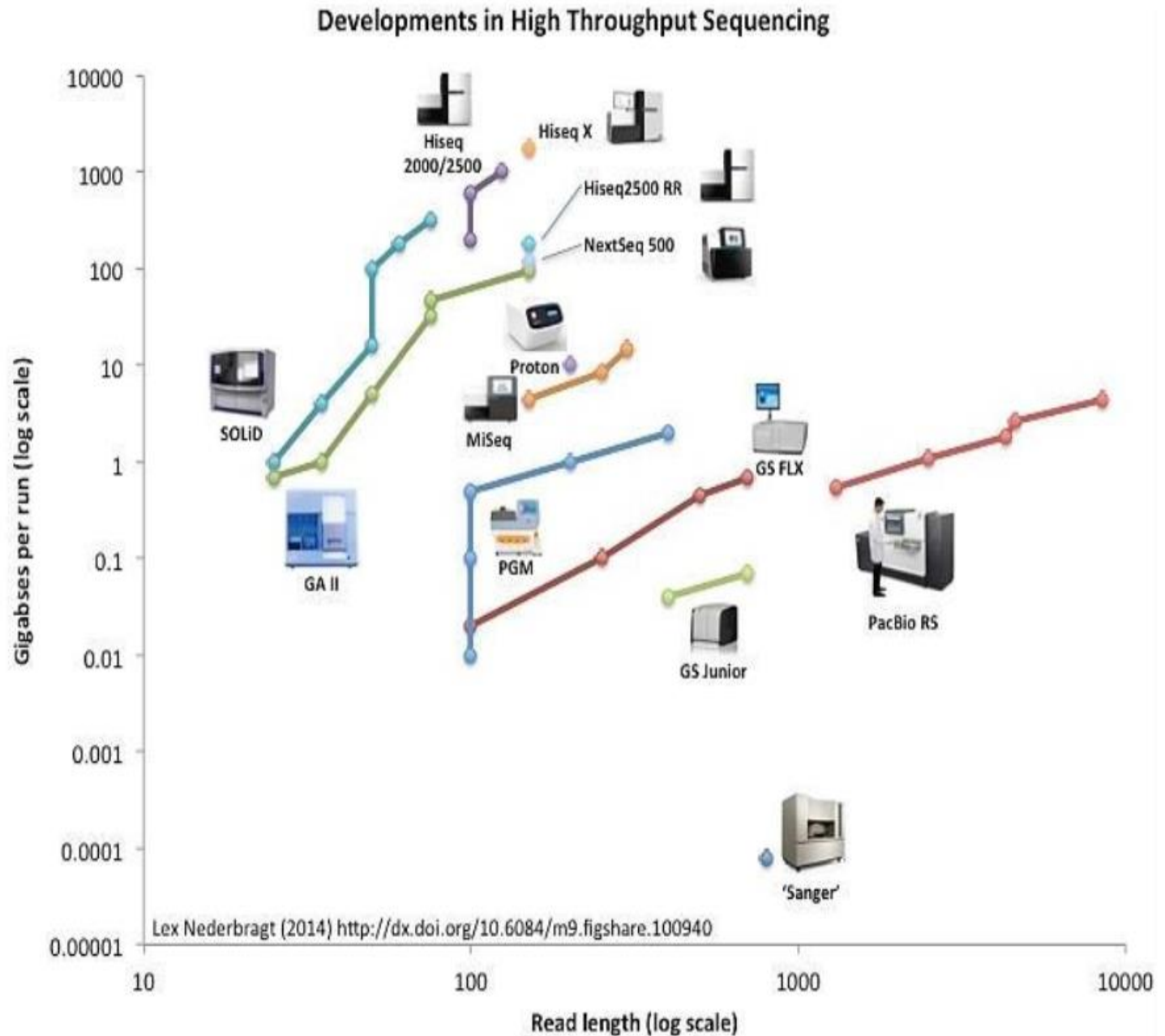


## Summarising:

Roche 454:  
GS Junior,  
GS FLX

Illumina:  
GA II,  
HiSeq series,  
MiSeq,  
NextSeq

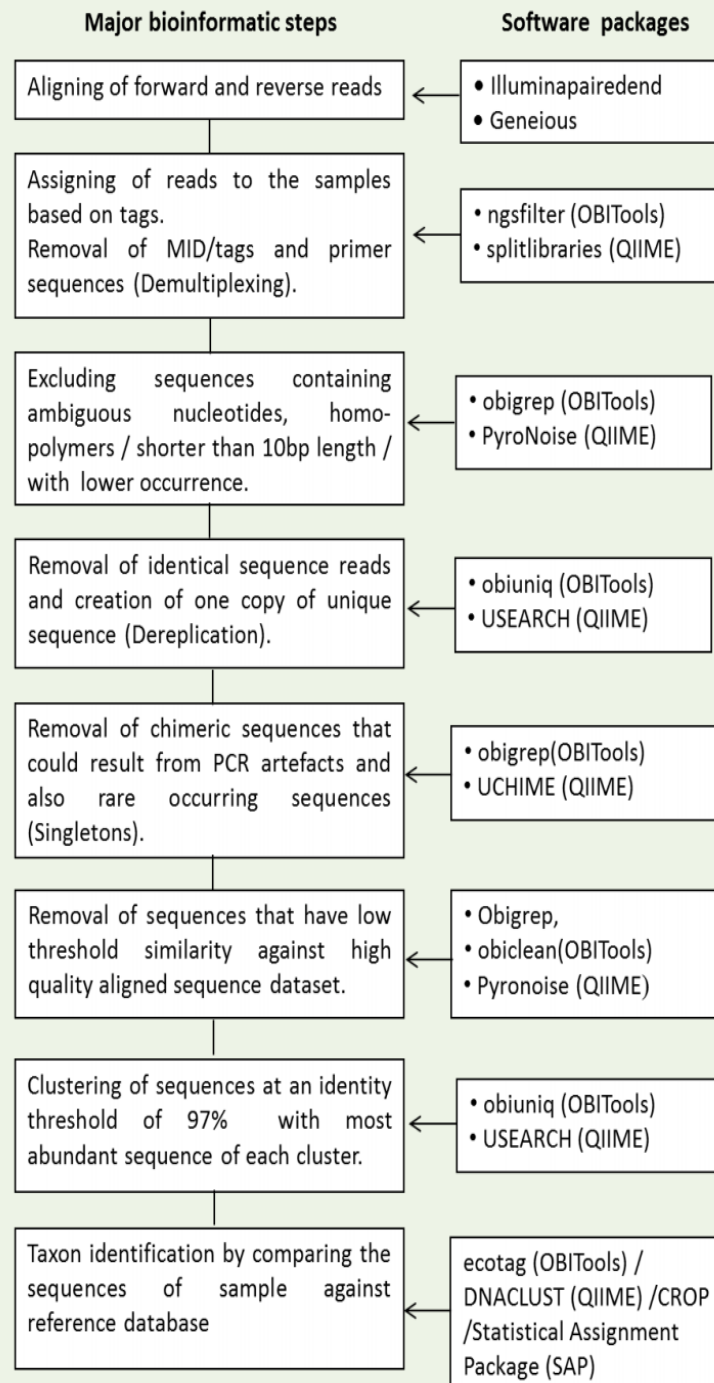
Thermo  
Fisher -  
Ion Torrent:  
PGM,  
Proton



# porovnanie sekvenačných postupov

Technology	Advantages	Limitations
Sanger sequencing	<ul style="list-style-type: none"><li>• Long reads (~700 bp)</li><li>• High accuracy</li></ul>	<ul style="list-style-type: none"><li>• Low throughput</li></ul>
Second-generation sequencing	<ul style="list-style-type: none"><li>• High throughput</li></ul>	<ul style="list-style-type: none"><li>• Short reads (~100–500 bp)</li><li>• Amplification biases generally occur</li></ul>
Third-generation sequencing	<ul style="list-style-type: none"><li>• Long reads (average length can reach ~14 kb)</li><li>• High throughput</li><li>• No amplification needed</li><li>• Can detect and differentiate between base modifications</li><li>• Potential for miniaturization of the technology (nanopore sequencing)</li></ul>	<ul style="list-style-type: none"><li>• High error rate</li><li>• Biased towards long fragments</li></ul>

# bionformatická analýza



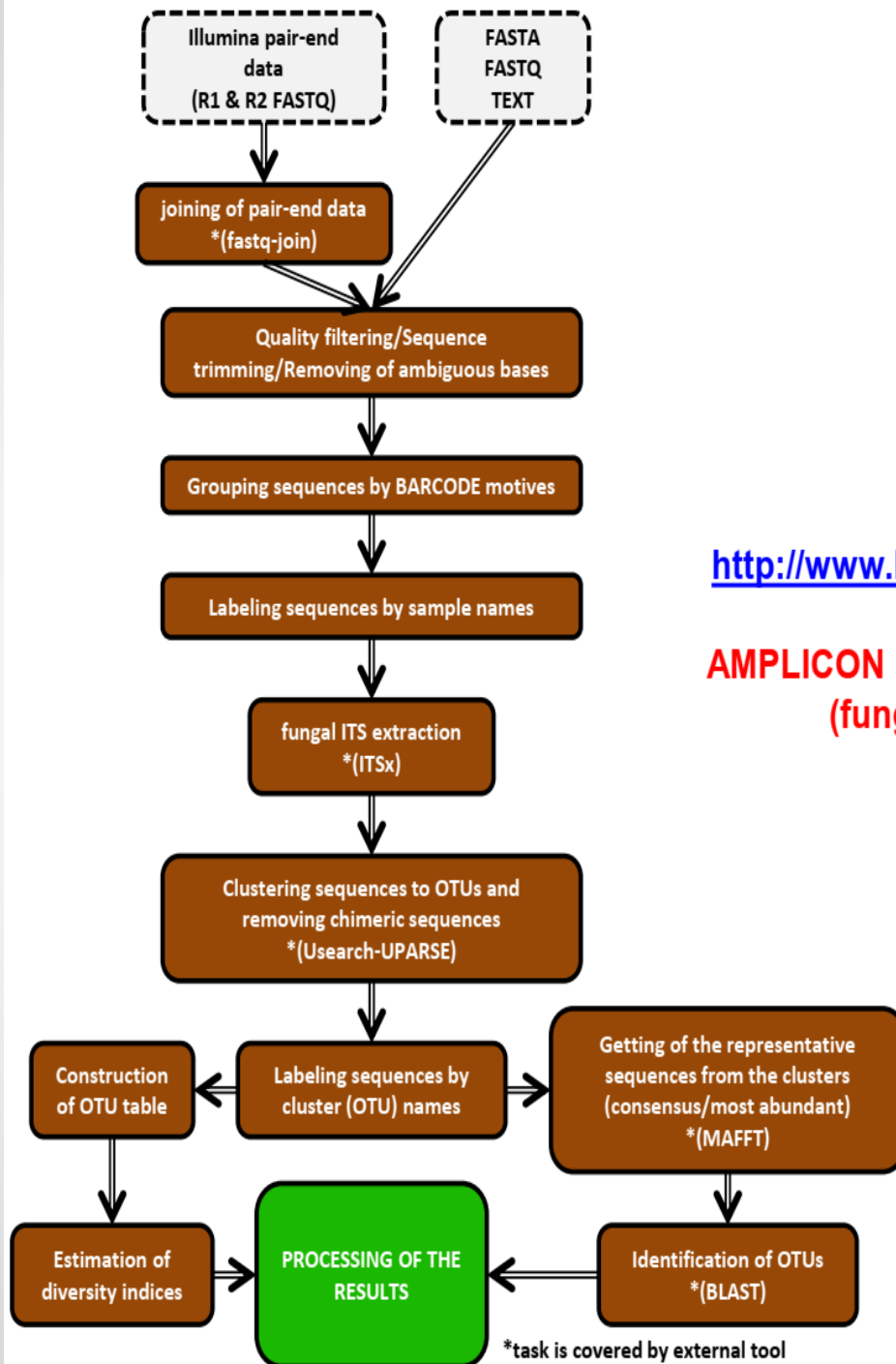
# bioinformatic pipeline



SEED v2.0

<http://www.biomed.cas.cz/mbu/lbwr/seed/>

AMPLICON DATA PROCESSING TUTORIAL  
(fungal amplicons example)



Tomáš Větrovský

vetrovsky@biomed.cas.cz

Laboratory of Environmental Microbiology  
Institute of Microbiology of the Academy  
of Sciences of the Czech Republic

# barcoding databáza všeobecná

## Barcode of Life Data System

BOLD SYSTEMS

DATABASES

IDENTIFICATION

TAXONOMY

WORKBENCH

RESOURCES

LOGIN



### TAXONOMY

Kingdoms of Life Being Barcoded

10,631,932

Specimen Records

7,888,383

Specimens with Barcodes

308,054

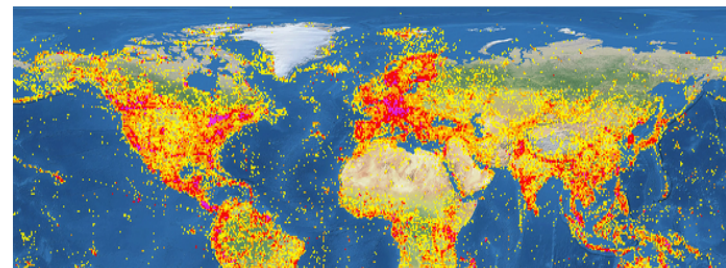
Species with Barcodes

#### Animals:

- Acanthocephala [1686]
- Acoelomorpha [22]
- Annelida [88727]
- Arthropoda [8663164]
- Brachiopoda [283]
- Bryozoa [3647]
- Chaetognatha [1469]

#### Plants:

- Bryophyta [21614]
- Chlorophyta [14099]
- Lycopodiophyta [1202]
- Magnoliophyta [360961]
- Pinophyta [7022]
- Pteridophyta [11059]
- Rhodophyta [53552]



# špecializovaná barcoding databáza pre rozsievky: Diat.barcode

INRAE



[Presentation](#)

[Culture search](#)

[How to order](#)

[Culture media](#)

[Barcoding database](#)

[Photos](#)



[Home](#) • [Barcoding database](#)

## Diat.barcode: a curated barcoding database



A curated barcoding library



# barcode huby: UNITE database

Run Analysis Search Pages Resources Statistics Notes and News Workbench



Communication and identification of DNA based fungal species

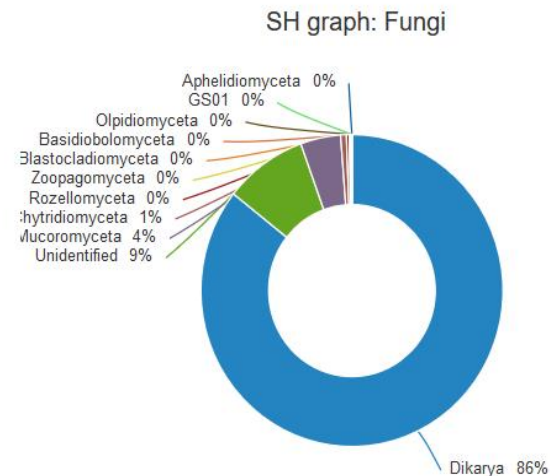


Current version: **8.2**; Last updated: 2020-01-15 ([read more](#))

Number of ITS sequences (UNITE+INSD): **2 480 043**; Number of UNITE fungal Species Hypotheses with DOIs at 1.5% threshold: **102 100** ([more statistics](#))

Threshold: 1.5 %    Include: All SH-s    Start typing taxon name here ...    Go    Reset    ⓘ

- ▶ Dikarya (87,449)
- ▶ Unidentified (9,044)
- ▶ Mucoromyceta (4,388)
- ▶ Chytridiomyceta (624)
- ▶ Rozellomyceta (316)
- ▶ Zoopagomyceta (157)
- ▶ Blastocladiomyceta (50)
- ▶ Basidiobolomyceta (33)
- ▶ Olpidiomyceta (23)
- ▶ GS01 (*informal name, see Tedersoo et al., 2017*) (10)
- ▶ Aphelidiomyceta (8)



# GenBank všeobecná databáza sekvencií používaná ako barcode

NCBI Resources ▾ How To ▾ miroslav.cabon@gmail.com My NCBI Sign Out

GenBank

GenBank ▾ Submit ▾ Genomes ▾ WGS ▾ Metagenomes ▾ TPA ▾ TSA ▾ INSDC ▾ Other ▾

**Data regarding the 2019-nCoV (Wuhan coronavirus) outbreak sequences can be found in [GenBank/SRA](#), the [NCBI Virus](#) resource, and a specialized [BLAST](#) page that searches Betacoronavirus sequences.**

## GenBank Overview

### What is GenBank?

GenBank<sup>®</sup> is the NIH genetic sequence database, an annotated collection of all publicly available DNA sequences ([Nucleic Acids Research, 2013 Jan;41\(D1\):D36-42](#)). GenBank is part of the [International Nucleotide Sequence Database Collaboration](#), which comprises the DNA DataBank of Japan (DDBJ), the European Nucleotide Archive (ENA), and GenBank at NCBI. These three organizations exchange data on a daily basis.

A GenBank release occurs every two months and is available from the [ftp site](#). The [release notes](#) for the current version of GenBank provide detailed information about the release and notifications of upcoming changes to GenBank. Release notes for [previous GenBank releases](#) are also available. GenBank growth statistics for both the traditional GenBank divisions and the WGS division are available from each release. GenBank growth [statistics](#) for both the traditional GenBank divisions and the WGS division are available from each release.

An [annotated sample GenBank record](#) for a *Saccharomyces cerevisiae* gene demonstrates many of the features of the GenBank flat file format.

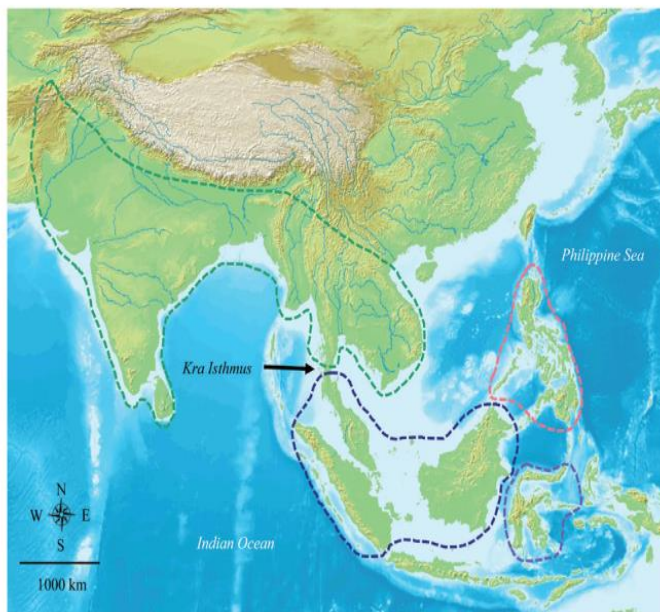
### GenBank Resources

- [GenBank Home](#)
- [Submission Types](#)
- [Submission Tools](#)
- [Search GenBank](#)
- [Update GenBank Records](#)

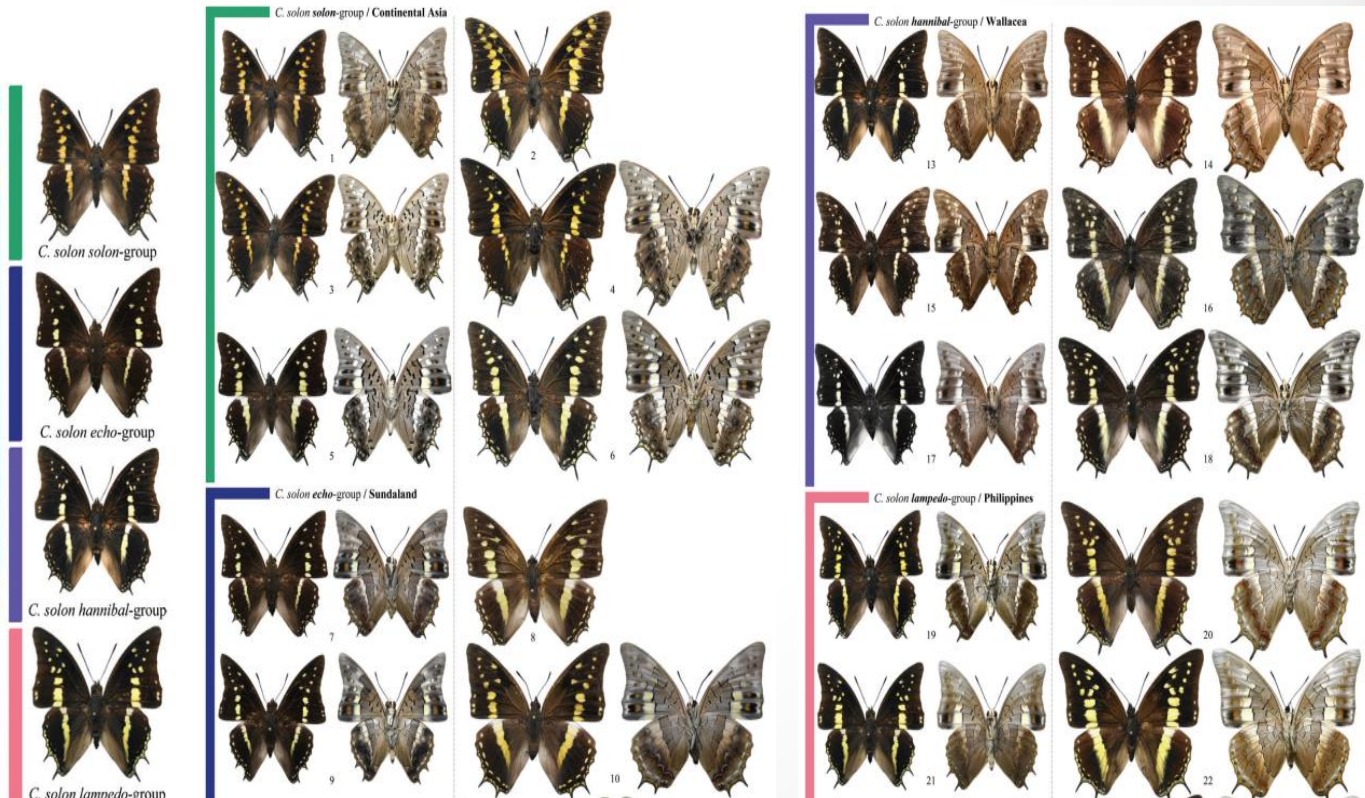


# výhody metabarcoding

- jednoduchá identifikácia skrytých (cryptic) druhov aj v zmesných vzorkách environmentálnej DNA
- Identifikácia je možná aj v štádiách životných cyklov kde nie sú dostupné diagnostické znaky
- Toussaint et al. 2019

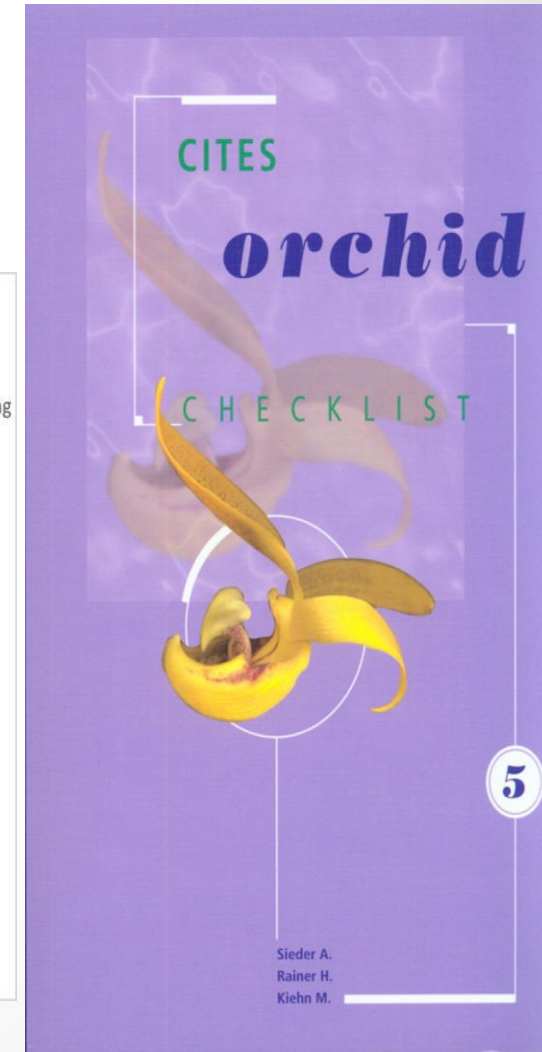
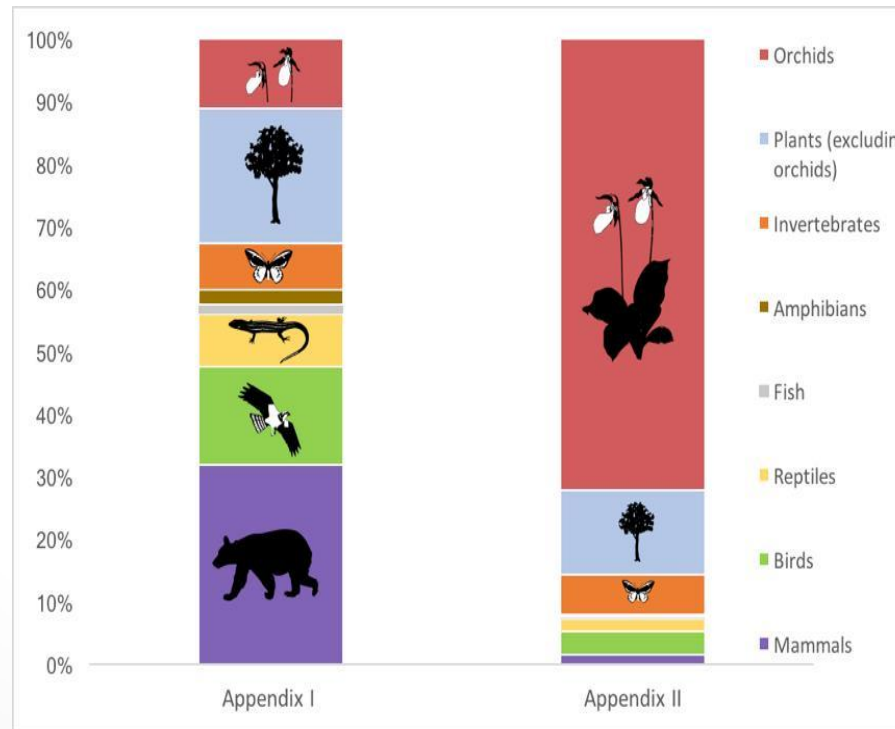
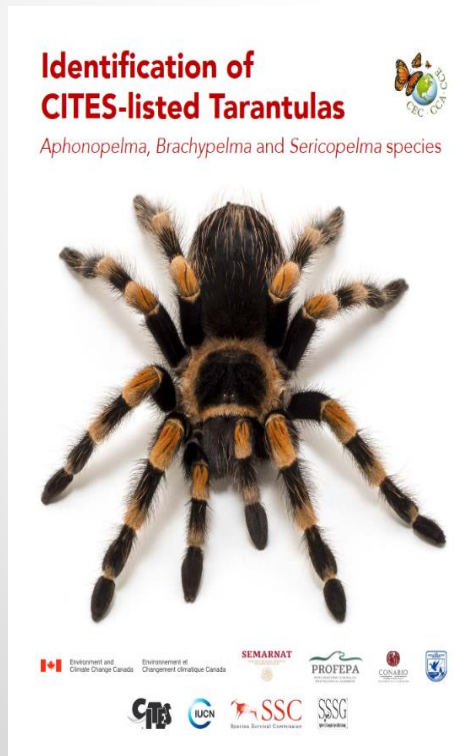


- *Charaxes solon cerynthus* / *solon* / *sulphureus*
- *Charaxes solon breviculus* / *echo* / *obscurus* / *setsuroi* / *sumatranus*
- *Charaxes solon brevis* / *catulus* / *hannibal* / *iliona* / *mangoliamus*
- *Charaxes solon lampedo* / *orchomenus* / *shohgun* / *tindongani*



# možné využitie v ochrane prírody

- identifikácia of CITES druhov
- Cooper et al. 2019



# možné využitie v ochrane prírody

## detekcia invázných druhov

823

### Detection of invasive freshwater fish in British Columbia lakes, using eDNA metabarcoding

Davon Callander, Matthias Herborg, Cathryn Abbott  
Fisheries and Oceans Canada, Pacific Biological Station, Nanaimo B.C.

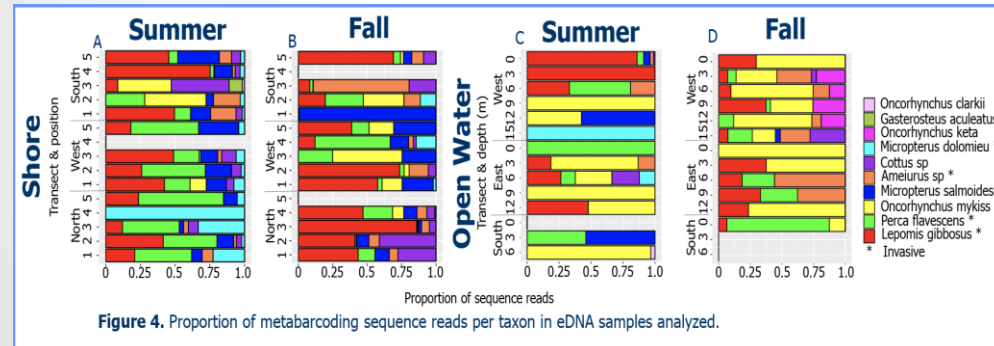


Biol Invasions (2015) 17:905–922  
DOI 10.1007/s10530-015-0854-y

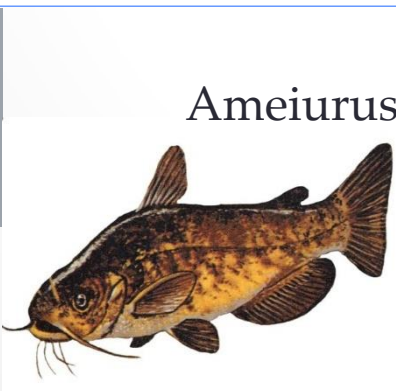
MOLECULAR TOOLS

### DNA (meta)barcoding of biological invasions: a powerful tool to elucidate invasion processes and help managing aliens

Thierry Comtet · Anna Sandionigi ·  
Frédérique Viard · Maurizio Casiraghi



Micropterus  
dolomieu



Ameiurus



Micropterus  
salmoides



Perca flavescens

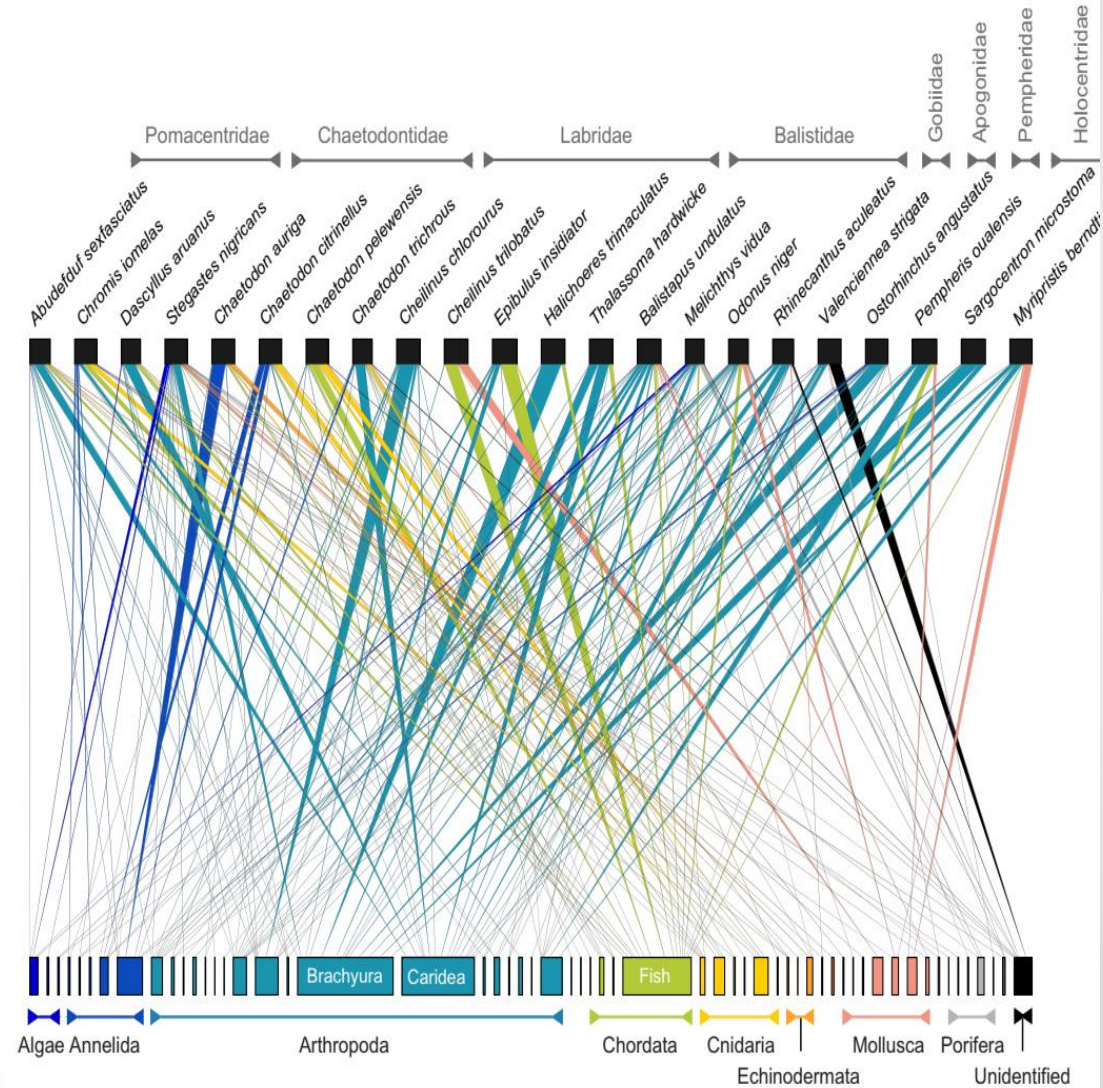


Lepomis  
gibbosus

# možné využitie v ochrane prírody

rekonštrukcie potravinových reťazcov

zdroj eDNA: obsah žalúdka koralov



DOI: 10.1111/2041-210X.13206

RESEARCH ARTICLE

Methods in Ecology and Evolution  
BRITISH  
ECOLOGICAL  
SOCIETY

Reconstructing hyperdiverse food webs: Gut content metabarcoding as a tool to disentangle trophic interactions on coral reefs

Jordan M. Casey<sup>1,2,3</sup> | Christopher P. Meyer<sup>3</sup> | Fabien Morat<sup>1,2</sup> | Simon J. Brandl<sup>4</sup> | Serge Planes<sup>1,2</sup> | Valeriano Parravicini<sup>1,2</sup>

# možné využitie v ochrane prírody

rekonštrukcie potravinových reťazcov

zdroj eDNA: obsah žalúdka  
morských rýb



## Metabarcoding dietary analysis of coral dwelling predatory fish demonstrates the minor contribution of coral mutualists to their highly partitioned, generalist diet

Matthieu Leray<sup>1,2,3</sup>, Christopher P. Meyer<sup>3</sup> and Suzanne C. Mills<sup>1,2</sup>

Submitted 7 April 2015  
Accepted 2 June 2015  
Published 25 June 2015

- <sup>1</sup> USR 3278 CRIOBE CNRS-EPHE-UPVD, CBETM de l'Université de Perpignan, Perpignan Cedex, France
- <sup>2</sup> Laboratoire d'Excellence "CORAIL"
- <sup>3</sup> Department of Invertebrate Zoology, National Museum of Natural History, Smithsonian Institution, Washington, D.C., USA

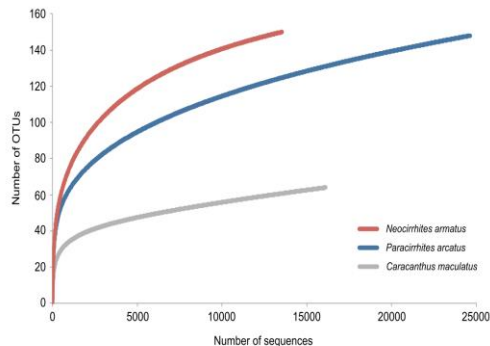
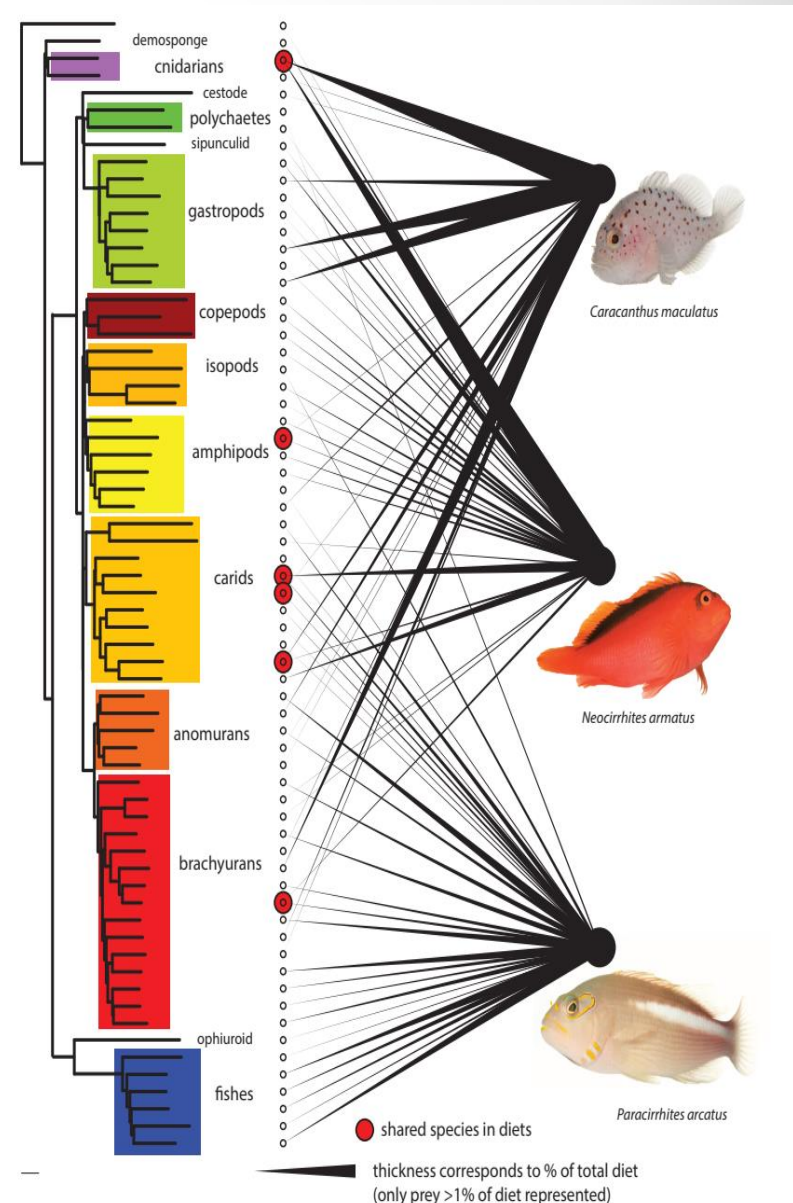


Figure 2 Rarefaction curves to evaluate the completeness of the sequencing effort at describing the diversity of dietary items in the gut contents of three coral reef fish species.



# možné využitie v ochrane prírody

rekonštrukcie potravinových

reťazcov

zdroj eDNA: výkaly

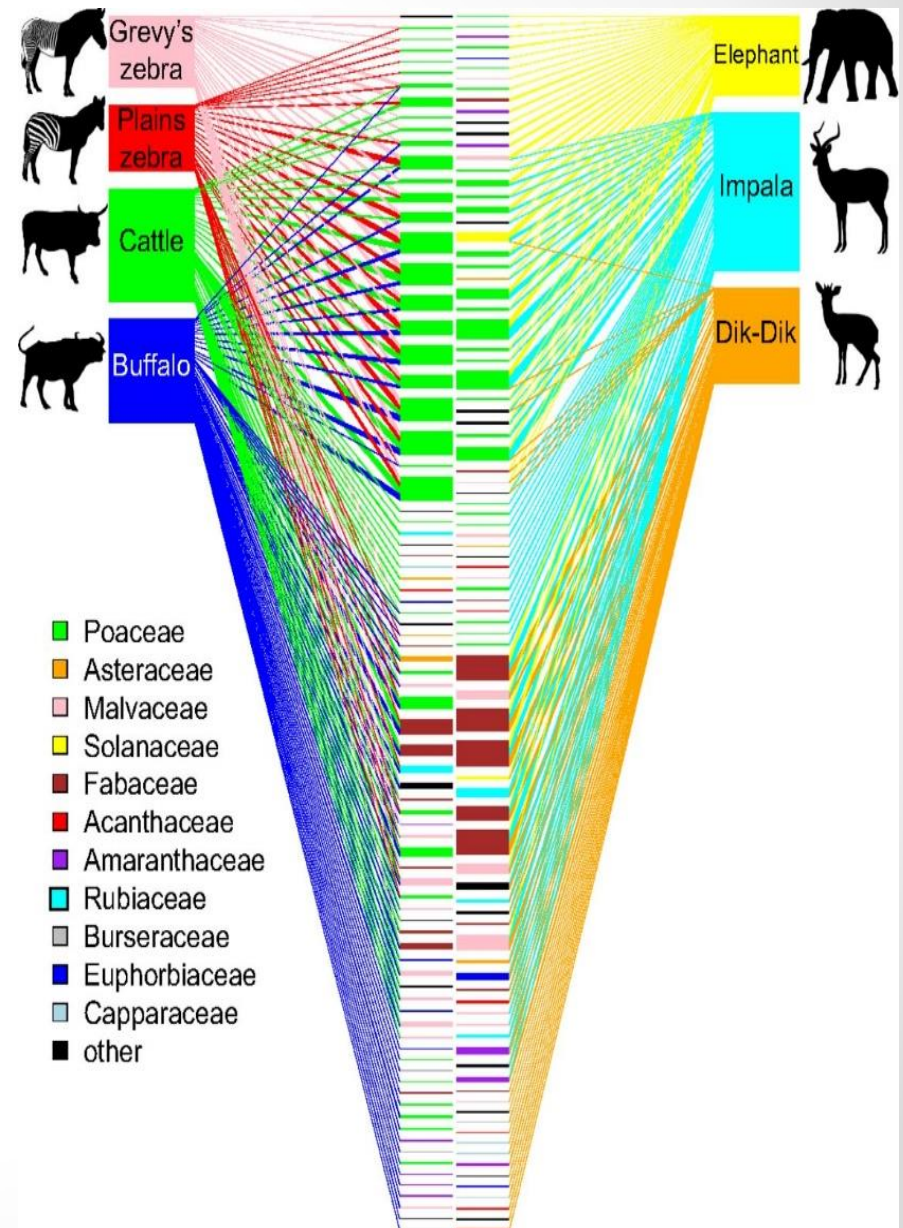
## DNA metabarcoding illuminates dietary niche partitioning by African large herbivores

Tyler R. Kartzinel<sup>a,1</sup>, Patricia A. Chen<sup>a</sup>, Tyler C. Coverdale<sup>a</sup>, David L. Erickson<sup>b</sup>, W. John Kress<sup>b</sup>, Maria L. Kuzmina<sup>b</sup>, Daniel I. Rubenstein<sup>a,c</sup>, Wei Wang<sup>d</sup>, and Robert M. Pringle<sup>a,c,1</sup>

<sup>a</sup>Department of Ecology and Evolutionary Biology, Princeton University, Princeton, NJ 08544; <sup>b</sup>Department of Botany, Smithsonian Institution, Washington, DC 20013; <sup>c</sup>Mpala Research Centre, Nanyuki, Kenya; and <sup>d</sup>Lewis Sigler Institute, Princeton University, Princeton, NJ 08544

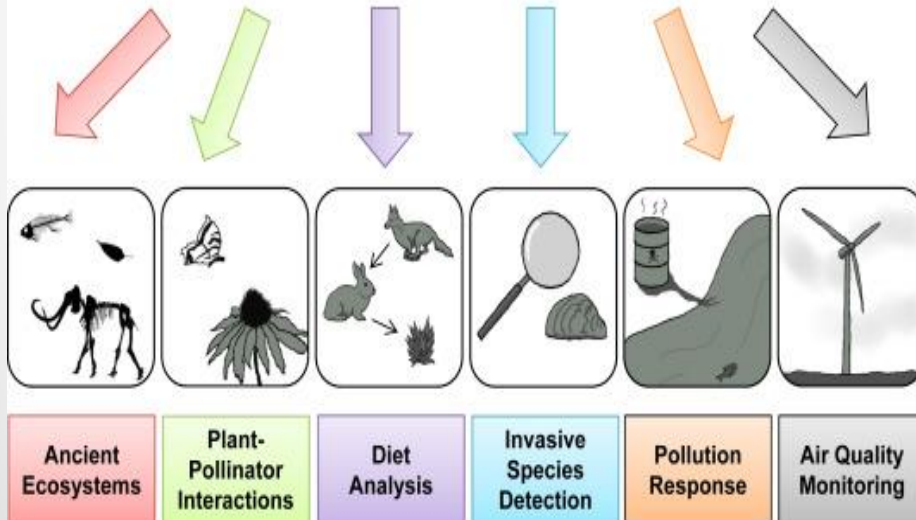
[www.pnas.org/cgi/doi/10.1073/pnas.1503283112](http://www.pnas.org/cgi/doi/10.1073/pnas.1503283112)

PNAS | June 30, 2015 | vol. 112 | no. 26 | 8019-8024



# možné využitie v ochrane prírody

## eDNA Metabarcoding Applications



### Review Paper

Past, present, and future perspectives of environmental DNA (eDNA) metabarcoding: A systematic review in methods, monitoring, and applications of global eDNA

Krista M. Ruppert <sup>a,\*</sup>, Richard J. Kline <sup>a,b,\*\*</sup>, Md Saydur Rahman <sup>a,b,\*\*\*</sup>

<sup>a</sup> School of Earth, Environmental, and Marine Sciences, University of Texas Rio Grande Valley, Brownsville, TX, 78520, USA

<sup>b</sup> Department of Biology, University of Texas Rio Grande Valley, Brownsville, TX, 78520, USA



### Review

The future of biotic indices in the ecogenomic era: Integrating (e)DNA metabarcoding in biological assessment of aquatic ecosystems

Jan Pawlowski <sup>a,\*</sup>, Mary Kelly-Quinn <sup>b</sup>, Florian Altermatt <sup>c</sup>, Laure Apothéloz-Perret-Gentil <sup>a</sup>, Pedro Beja <sup>d</sup>, Angela Boggero <sup>e</sup>, Angel Borja <sup>f</sup>, Agnès Bouchez <sup>g</sup>, Tristan Cordier <sup>a</sup>, Isabelle Domaizon <sup>g</sup>, Maria Joao Feio <sup>h</sup>, Ana Filipa Filipe <sup>d</sup>, Riccardo Fornaroli <sup>i</sup>, Wolfram Graf <sup>j</sup>, Jelger Herder <sup>k</sup>, Berry van der Hoorn <sup>l</sup>, J. Iwan Jones <sup>m</sup>, Marketa Sagova-Mareckova <sup>n</sup>, Christian Moritz <sup>o</sup>, Jose Barquín <sup>p</sup>, Jeremy J. Piggott <sup>q</sup>, Maurizio Pinna <sup>r</sup>, Frederic Rimet <sup>g</sup>, Buki Rinkevich <sup>s</sup>, Carla Sousa-Santos <sup>t</sup>, Valeria Specchia <sup>u</sup>, Rosa Trobajo <sup>v</sup>, Valentín Vasselón <sup>g</sup>, Simon Vitecek <sup>y</sup>, Jonas Zimmerman <sup>w</sup>, Alexander Weigand <sup>x,y</sup>, Florian Leese <sup>x</sup>, Maria Kahlert <sup>z</sup>



### Review

Implementation options for DNA-based identification into ecological status assessment under the European Water Framework Directive

Daniel Hering <sup>a,\*</sup>, Angel Borja <sup>b</sup>, J. Iwan Jones <sup>c</sup>, Didier Pont <sup>d</sup>, Pieter Boets <sup>e</sup>, Agnès Bouchez <sup>f</sup>, Kat Bruze <sup>g</sup>, Sina Chakran <sup>h</sup>, Bernd Hilbering <sup>i</sup>, Maria Kahlert <sup>j</sup>, Florian Leese <sup>k</sup>, Kristian Møller <sup>l</sup>, Patricia Mergen <sup>l</sup>, Yonik Rogiel <sup>l</sup>, Pedro Segurado <sup>m</sup>, Alfred Vogler <sup>n</sup>, Martin Kelly <sup>n</sup>

Show more

<https://doi.org/10.1016/j.watres.2018.01.001>

Get rights and content

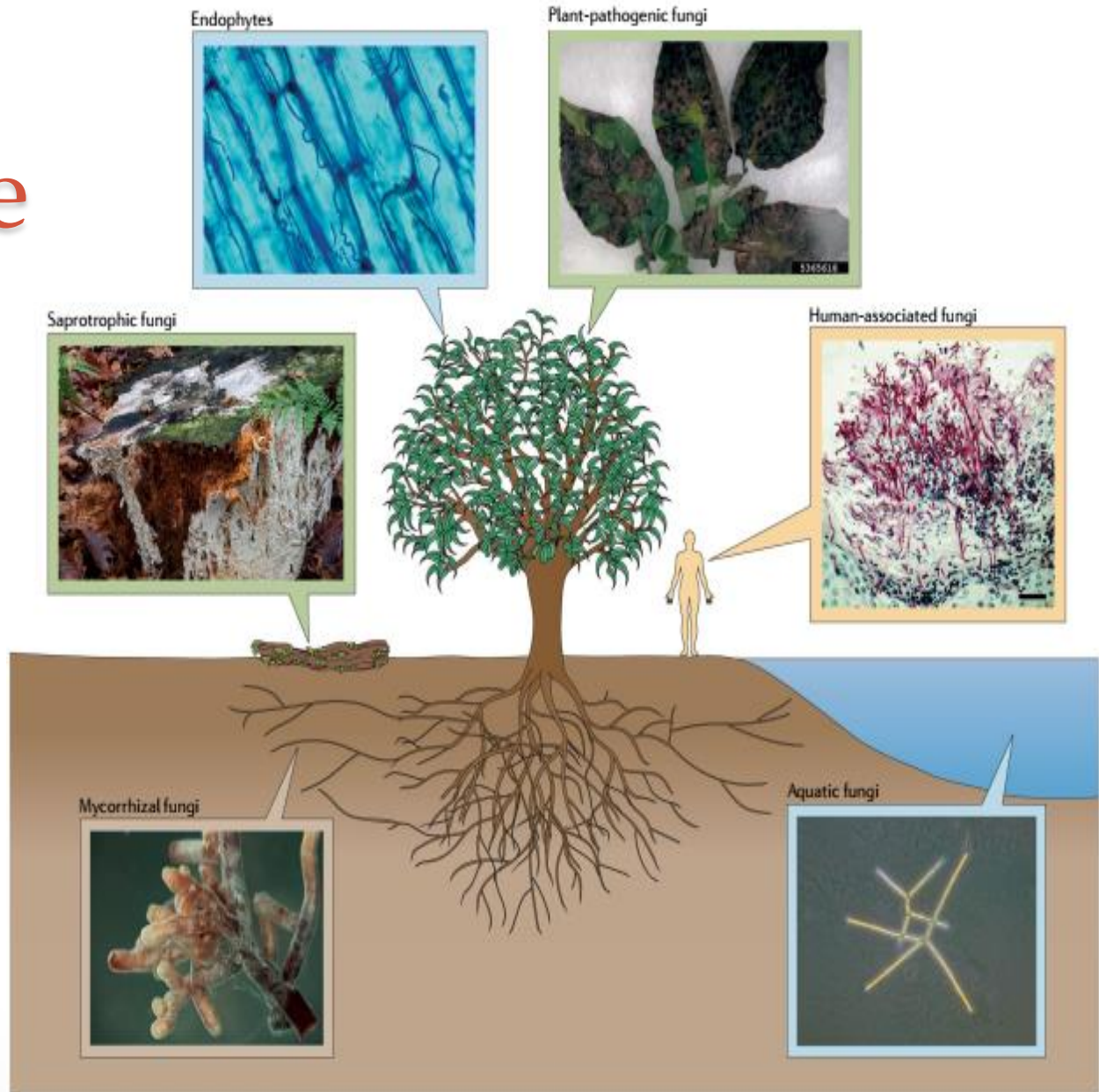
# problémy a výzvy metabarcoding

- neumožňuje získať dáta o pohlaví, veku, zdravotnom stave jedincov v študovaných spoločnostiach
- DNA v niektorých typoch environmentálnych vzoriek (napr. vývžky a exkrementy) degraduje
- použitím všeobecných primerov, DNA sa môže amplifikovať DNA rôznych skupín organizmov dominantne či okrajovo (disproporčne)
- nemožná alebo zložitá kvantifikácia DNA





# huby v ekosystéme

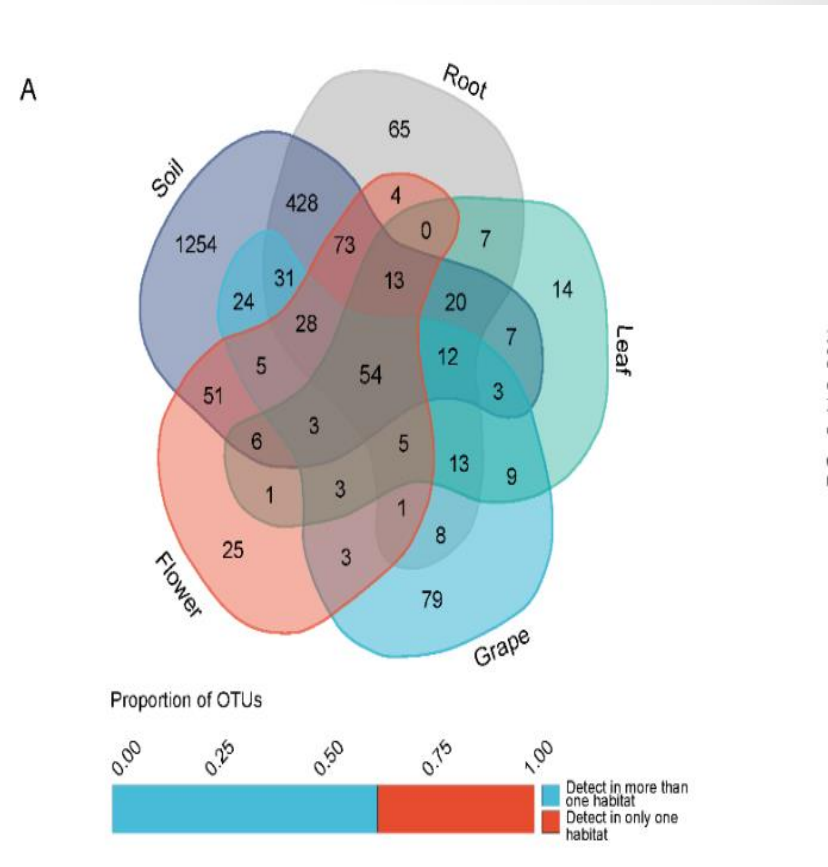


# kritické kroky v príprave štúdií založených na HTS sekvenovaní húb

sampling a príprava vzoriek

niektoré huby (napríklad enkapsulované kvasinky) sú zvlášť bohaté na polysacharidy a príprava vzoriek môže vyžadovať špeciálne postupy (Huang et al. 2018)

optimalizácia prípravy vzoriek pre určité substráty akými sú pôda, rastlinné pletivá, alebo voda je často potrebná (Nilsson et al. 2018)



Liu & Howell 2021

# príprava vzoriek pôdných húb

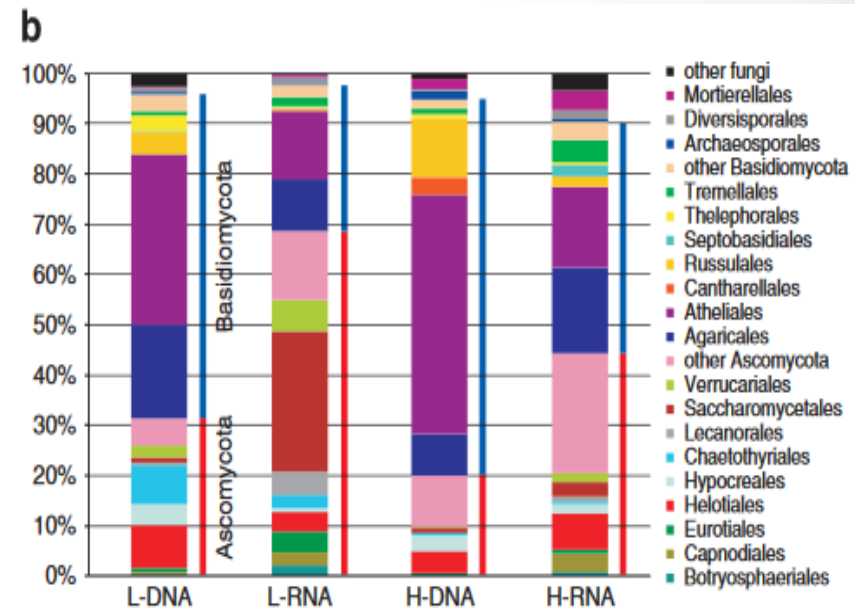
stratifikácia pôdy a s tým súvisiaca zmena spoločenstva húb a jeho funkcie



		L	H	
pH		3.7 ± 0.0	3.8 ± 0.1	
dry mass	%	73.9 ± 1.4	46.0 ± 6.5	***
organic matter	%	94.5 ± 0.5	23.5 ± 4.6	***
C	%	51.6 ± 0.3	14.1 ± 4.4	***
N	%	1.93 ± 0.08	0.62 ± 0.22	***
C : N	molar	26.8 ± 1.2	23.0 ± 1.1	***
C : H	molar	0.77 ± 0.02	1.00 ± 0.06	***
PLFA bacteria	nmol g <sup>-1</sup>	496.6 ± 106.1	205.3 ± 48.8	**
PLFA fungi	nmol g <sup>-1</sup>	189.0 ± 32.3	26.7 ± 7.1	***
fungi / bacteria (PLFA)		0.39 ± 0.03	0.13 ± 0.03	***
ergosterol	µg g <sup>-1</sup>	0.509 ± 0.257	0.020 ± 0.012	***
rDNA bacteria	10 <sup>3</sup> x copy / ng DNA	18.4 ± 3.3	11.3 ± 1.0	***
rDNA fungi	10 <sup>3</sup> x copy / ng DNA	19.5 ± 4.4	3.4 ± 0.7	***
fungi / bacteria (rDNA)		1.11 ± 0.27	0.30 ± 0.06	***
rRNA bacteria	10 <sup>5</sup> x copy / ng cDNA	58.4 ± 23.6	3.8 ± 1.8	***
ITS fungi	10 <sup>3</sup> x copy / ng cDNA	9.61 ± 0.80	0.11 ± 0.06	***
β-glucosidase	µmol min <sup>-1</sup> g <sup>-1</sup> DM	26.5 ± 10.4	11.0 ± 6.6	***
α-glucosidase	µmol min <sup>-1</sup> g <sup>-1</sup> DM	3.2 ± 1.1	1.0 ± 0.7	***
cellobiohydrolase	µmol min <sup>-1</sup> g <sup>-1</sup> DM	5.3 ± 2.2	2.4 ± 2.2	**
β-xylosidase	µmol min <sup>-1</sup> g <sup>-1</sup> DM	6.7 ± 1.8	8.1 ± 1.9	
N-acetylglucosaminidase	µmol min <sup>-1</sup> g <sup>-1</sup> DM	11.4 ± 5.4	4.9 ± 5.6	*
arylsulfatase	µmol min <sup>-1</sup> g <sup>-1</sup> DM	0.6 ± 0.1	1.3 ± 0.6	**
phosphomonoesterase	µmol min <sup>-1</sup> g <sup>-1</sup> DM	114.4 ± 24.7	90.3 ± 22.4	*

L horizon

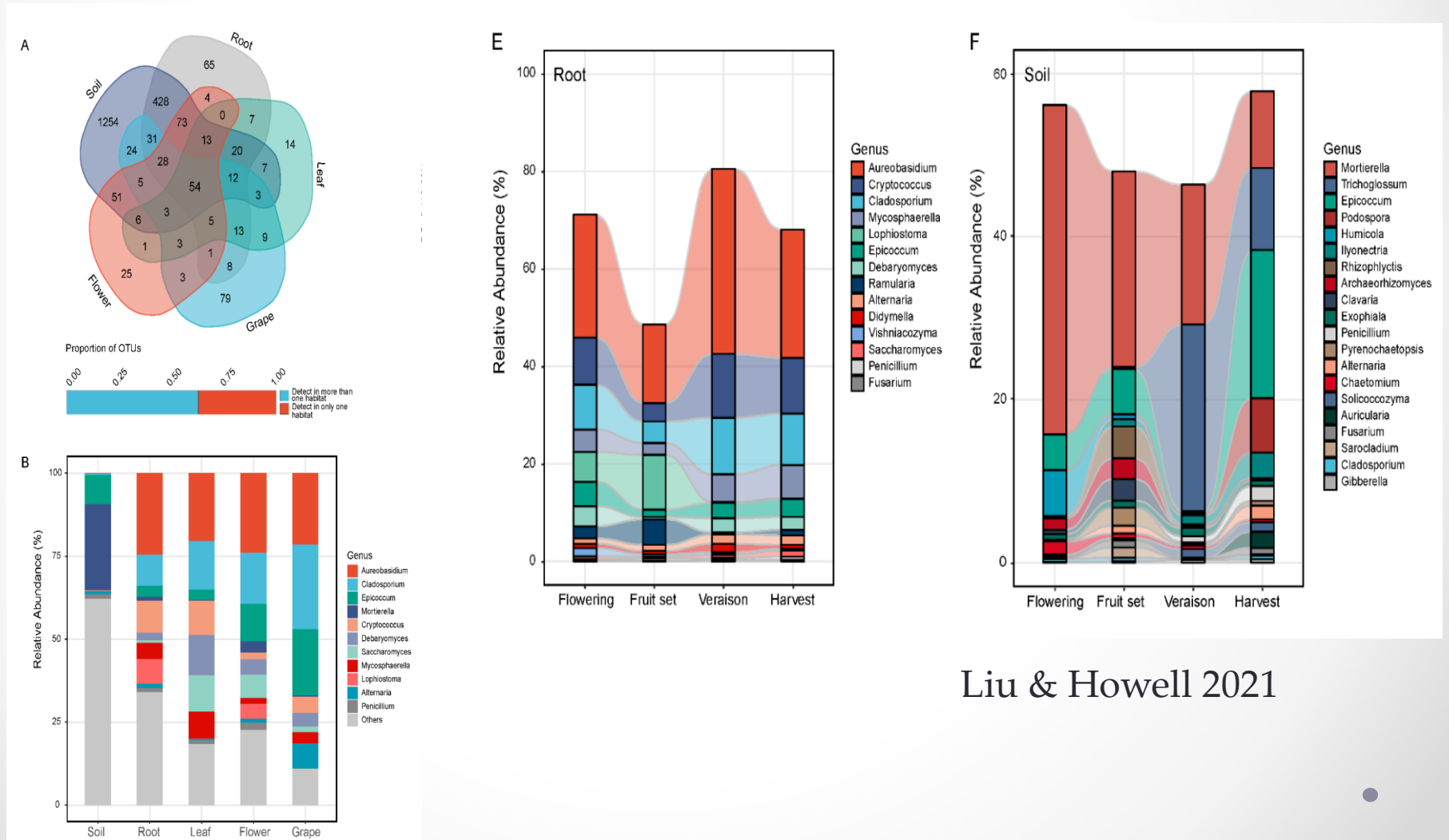
H horizon



\* Significant differences among soil horizons (one-way ANOVA followed by Tukey post-hoc test, \*  $P < 0.05$ , \*\*  $P < 0.01$ , \*\*\*  $P < 0.001$ ).

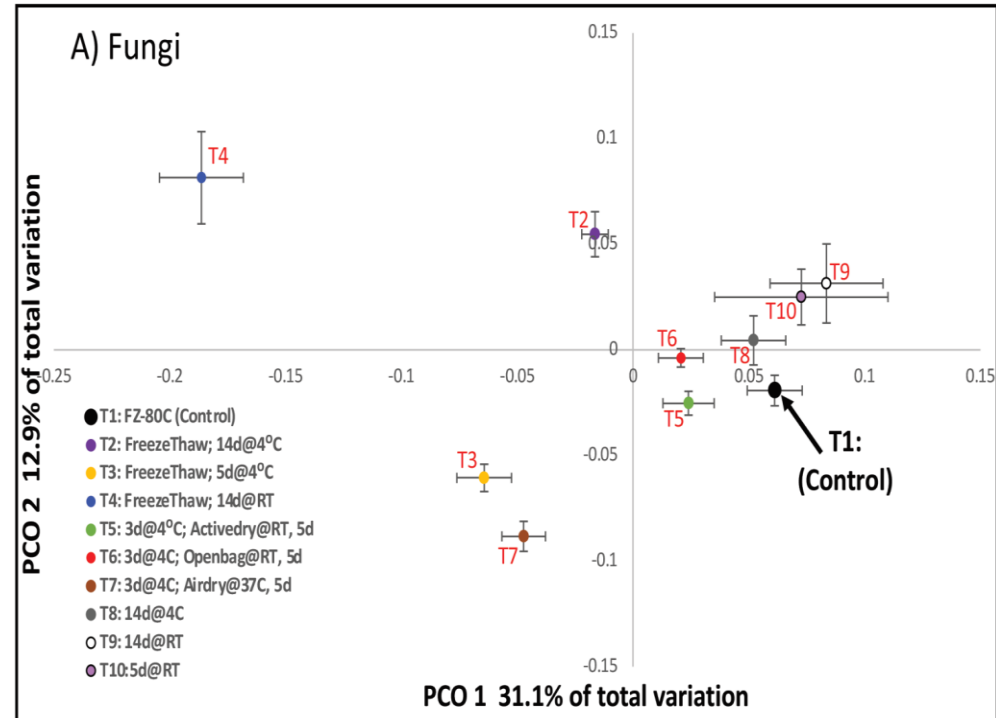
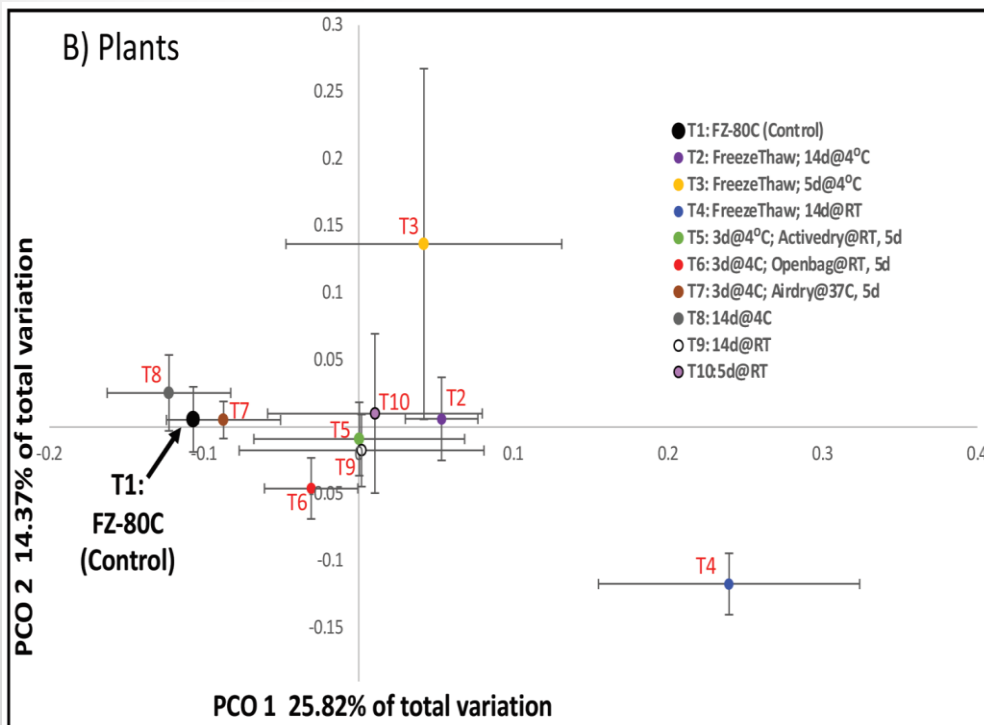
# príprava vzoriek pôdnych húb

sezónnosť a rôzne substráty



# príprava vzoriek pôdných húb

## skladovanie vzoriek



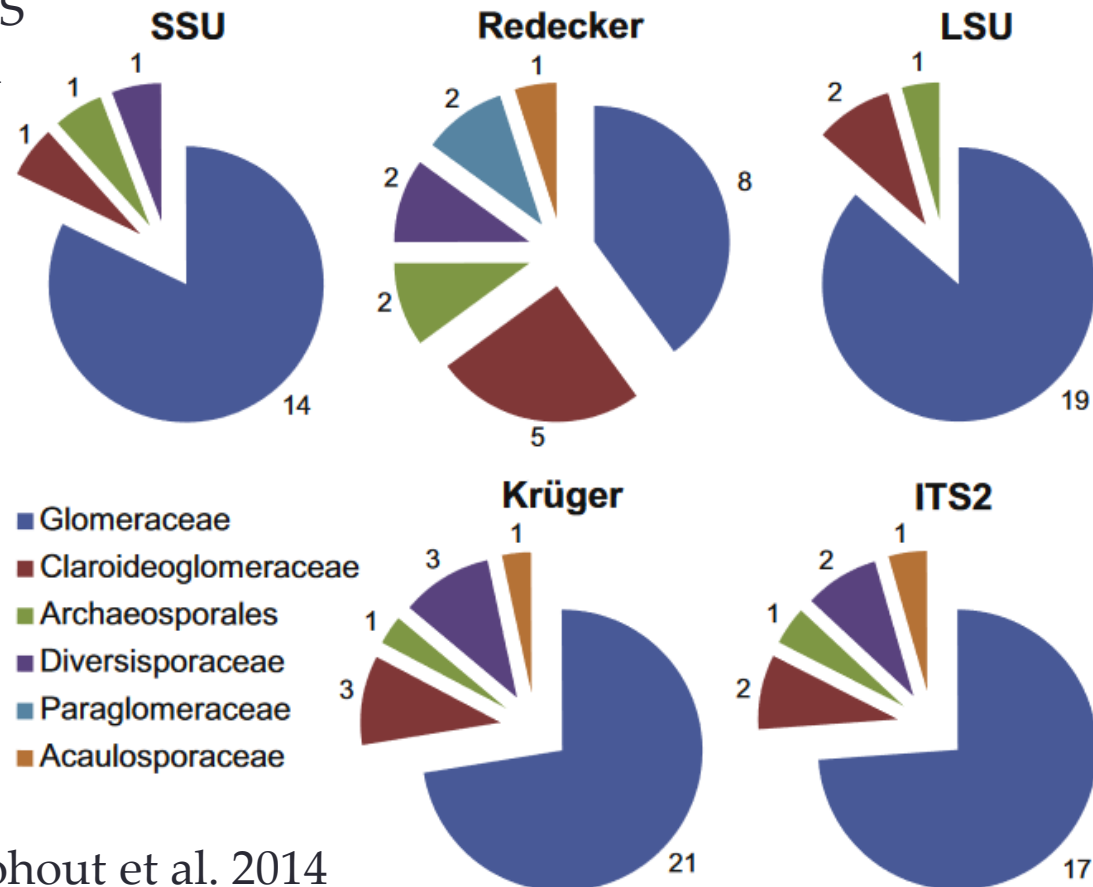
Clasen et al. 2020

# príprava vzoriek pôdných húb

výber primerov a barcode sekvencií

pre viaceré skupiny ekologicky dôležitých húb ako sú patogény rastlín a endofyty, ITS region neposkytuje dostatok informácií na odlišenie druhov (Vu et al. 2018)

štúdie vodných húb a arbuskulárnych mykoríz preto používajú často small subunit (SSU) (18S) a large subunit (LSU) (28S) nuclear rRNA gény

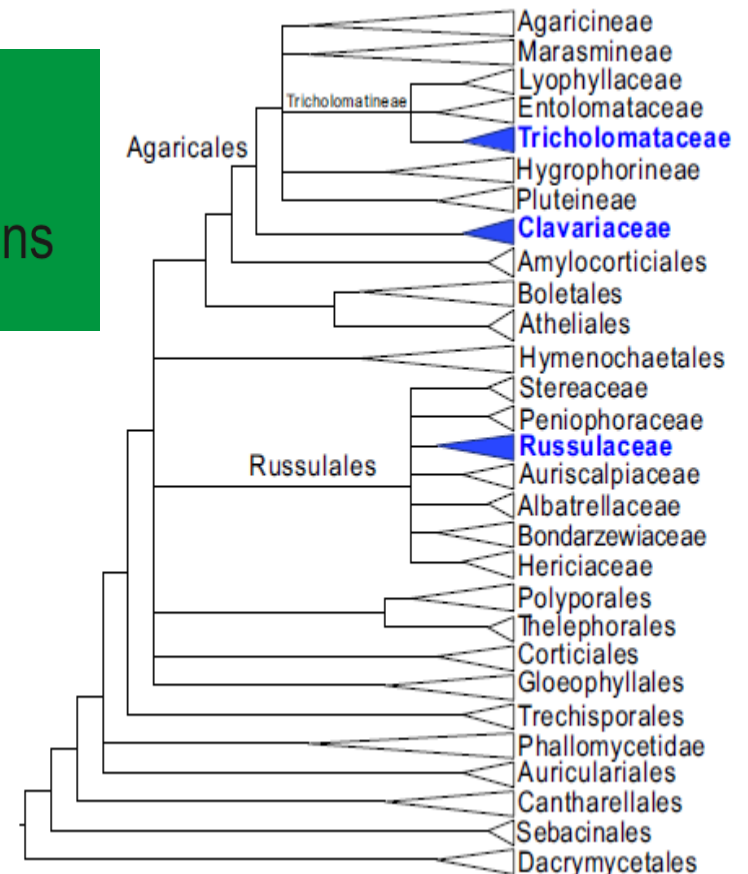


Kohout et al. 2014

# alternatívne barcode regióny

Recovery of species-rank OTUs of agarics  
(Agaricomycotina, fungi) in metagenomic datasets  
based on various nrDNA amplicon lengths and positions

Slavomir Adamčík, Brian P. Looney, Miroslav Kolařík, Marisol Sánchez-García, Katarína Adamčíková, Miroslav Caboň, Gareth W. Griffith

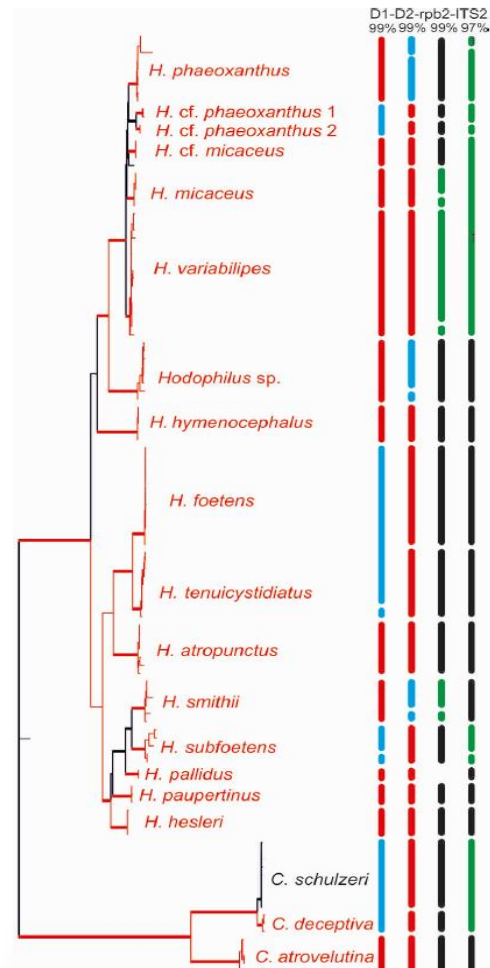
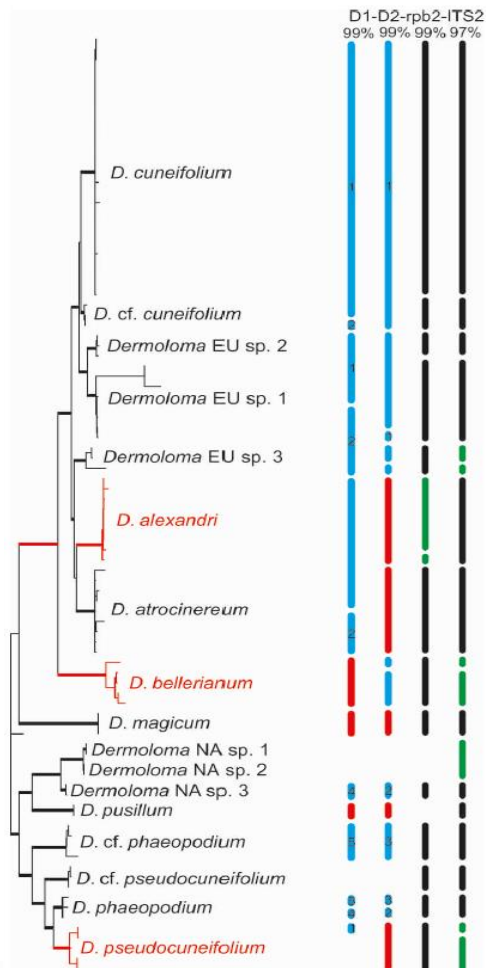
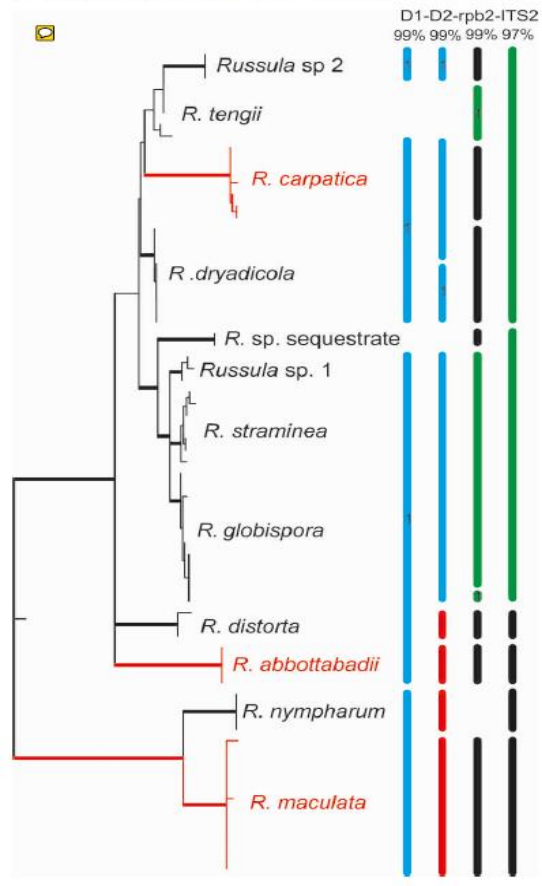


# alternatívne barcode regióny





# testovanie alternatívnych barcoding regiónov



## Mulching has negative impact on fungal and plant diversity in Slovak oligotrophic grasslands

Miroslav Cabonň<sup>a,\*</sup>, Dobromil Galvánek<sup>a</sup>, Andrew P. Detheridge<sup>b</sup>,  
Gareth W. Griffith<sup>b</sup>, Silvia Maráková<sup>a</sup>, Slavomír Adamčík<sup>a</sup>



**mulčovanie**: môže spôsobiť sezónne obohatenie živinami spôsobené rozkladom rastlinnej biomasy saprofytickými organizmami

**hypotéza**: kompetitívne a antagonistické interakcie pôdných mikroorganizmov a zmeny v dostupných živinách pravdepodobne mení štruktúru spoločenstiev pôdných húb v travinných biotopoch

**ciele**: zistiť zmeny v mikrobiálnych spoločenstvách húb v Slovenských oligotrofných travnných biotopoch spôsobené dlhodobou (osem rokov) aplikáciou šiestich

- rôznych manažmentových postupov



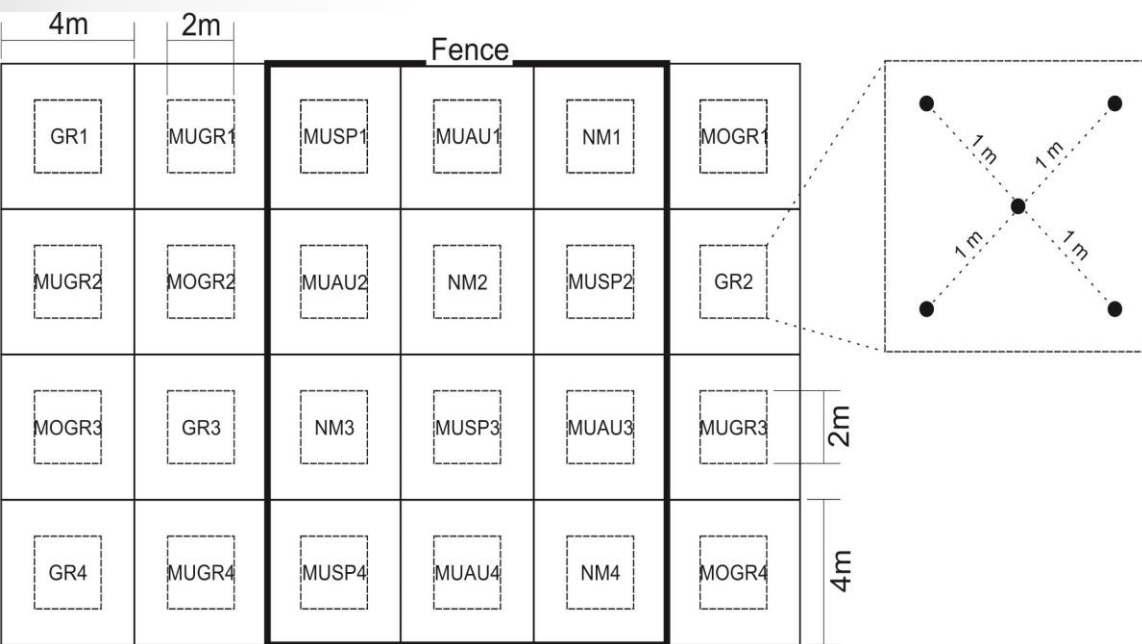
# dizajn štúdie

## Mulching has negative impact on fungal and plant diversity in Slovak oligotrophic grasslands

Miroslav Caboň<sup>a,\*</sup>, Dobromil Galváněk<sup>a</sup>, Andrew P. Detheridge<sup>b</sup>,  
Gareth W. Griffith<sup>b</sup>, Silvia Maráková<sup>a</sup>, Slavomír Adamčík<sup>a</sup>



experiment založený v roku 2009 aplikáciou šiestich manažmentových postupov v štyroch opakovaníach



- GR: pasenie (pozitívna kontrola)
- MOGR: tradičné kosenie kosou kombinované s pasením (seno odstránené)
- MUAU: mulčovanie v jeseni (prvá polovica septembra)
- MUSP: mulčovanie v jari (druhá polovica júna až prvá polovica júla)
- MUGR: pasenie kombinované s jesenným mulčovaním
- NM: bez zásahu (negatívna kontrola)

## Mulching has negative impact on fungal and plant diversity in Slovak oligotrophic grasslands

Miroslav Cabon<sup>a,\*</sup>, Dobromil Galv<sup>a</sup>, Andrew P. Detheridge<sup>b</sup>,  
Gareth W. Griffith<sup>b</sup>, Silvia Mar<sup>a</sup>, Slavomír Adam<sup>a</sup>



- **pôda**: organický uhlík(Cox), humus, obsah N a P, pôda odobratá 7. novembra 2016
- **rastlinné spoločenstvá**: geobotanické zápisy zaznamenané v máji až júni 2018
- **huby**: odobraných 5 pôdnych vzoriek pre metabarcoding 12 októbra 2017 a 3 mája 2018, sekvenované Illumina MiSeq, ITS2 rDNA za použitia primerov ITS3F, ITS4R
- **CHEGD huby**: identifikované pomocou referenčných databáz Clavariaceae (Birkebak et al. 2016), Hygrophoraceae (Ainsworth, Cannon & Dentinger 2013, Wang et al. 2018), Entolomataceae (Morozova, Noordeloos & Vila 2014), Geoglossaceae (Fedosova et al. 2017) a Tricholomataceae (Sánchez-García et al. 2021)



# abiotické pôdne parametre

iba obsah fosforu ukázal  
signifikantné rozdiely  
medzi manažmentami



## Mulching has negative impact on fungal and plant diversity in Slovak oligotrophic grasslands



Miroslav Cabon<sup>a,\*</sup>, Dobromil Galváněk<sup>a</sup>, Andrew P. Detheridge<sup>b</sup>,  
Gareth W. Griffith<sup>b</sup>, Silvia Maráková<sup>a</sup>, Slavomír Adamčík<sup>a</sup>

		Cox [g/kg]	Humus [g/kg]	N [g/kg]	P [mg/kg]
GR	GR1	27,44	47,3	2,97	2,31
GR	GR2	32,18	55,47	3,10	2,53
GR	GR3	25,2	43,45	2,90	2,80
GR	GR4	28,55	49,22	2,82	2,40
GR (average)		28,3425	48,86	2,9475	2,51 ab
MOGR	MOGR1	21,58	37,2	2,67	2,54
MOGR	MOGR2	27,71	47,78	2,64	2,45
MOGR	MOGR3	29,67	51,15	3,08	3,79
MOGR	MOGR4	36,92	63,65	3,42	3,18
MOGR (average)		28,97	49,945	2,9525	2,99 b
MUAU	MUAU1	31,06	53,55	2,92	3,27
MUAU	MUAU2	33,29	57,4	3,24	2,62
MUAU	MUAU3	32,46	55,96	3,22	2,78
MUAU	MUAU4	36,64	63,17	3,21	3,76

# príklad OTU húb

## Mulching has negative impact on fungal and plant diversity in Slovak oligotrophic grasslands



Miroslav Cabon<sup>a,\*</sup>, Dobromil Galv<sup>a</sup>, Andrew P. Detheridge<sup>b</sup>,  
Gareth W. Griffith<sup>b</sup>, Silvia Mar<sup>a</sup>, Slavomír Adam<sup>a</sup>

Phylum	Class	Order	Family	Genus	Unite species hypothesis	Ecology	Count	Cumulative Total	Mean	Median	Max	Min	GR1_AU	GR1_SP	GR2_AU
Basidiomycota	Agaricomycetes	Agaricales	Hygrophoraceae	Cuphophyllus	Cuphophyllus_flavipes:SH1529299.08FU	CHEGD	43	62,34%	1,30%	0,11%	19,30%	0,00%	0,95%	2,97%	0,10%
Basidiomycota	Agaricomycetes	Agaricales	Hygrophoraceae	Cuphophyllus	Cuphophyllus_pratensis:SH1617081.08FU	CHEGD	6	0,61%	0,01%	0,00%	0,46%	0,00%	0,00%	0,00%	0,00%
Basidiomycota	Agaricomycetes	Agaricales	Hygrophoraceae	Gliophorus	Gliophorus_psittacinus:SH1216658.08FU	CHEGD	6	1,29%	0,03%	0,00%	0,79%	0,00%	0,00%	0,00%	0,00%
Basidiomycota	Agaricomycetes	Agaricales	Hygrophoraceae	Gliophorus	Gliophorus_psittacinus:SH1237013.08FU	CHEGD	47	66,19%	1,38%	0,15%	18,01%	0,00%	0,47%	0,09%	0,15%
Basidiomycota	Agaricomycetes	Agaricales	Hygrophoraceae	Hygrocybe	Hygrocybe_cantharellus:SH1618542.08FU	CHEGD	19	1,85%	0,04%	0,00%	0,49%	0,00%	0,03%	0,02%	0,00%
Basidiomycota	Agaricomycetes	Agaricales	Hygrophoraceae	Hygrocybe	Hygrocybe_ceracea:SH1515769.08FU	CHEGD	13	5,85%	0,12%	0,00%	4,11%	0,00%	0,00%	0,34%	1,01%
Basidiomycota	Agaricomycetes	Agaricales	Hygrophoraceae	Hygrocybe	Hygrocybe_chlorophana:SH1546991.08FU	CHEGD	48	286,09%	5,96%	1,19%	50,91%	0,08%	29,17%	48,72%	1,11%
Basidiomycota	Agaricomycetes	Agaricales	Hygrophoraceae	Hygrocybe	Hygrocybe_citrinovirens:SH1617597.08FU	CHEGD	24	16,86%	0,35%	0,01%	9,22%	0,00%	0,00%	0,00%	0,05%
Basidiomycota	Agaricomycetes	Agaricales	Hygrophoraceae	Hygrocybe	Hygrocybe_coccinea:SH1646814.08FU	CHEGD	44	182,75%	3,81%	0,36%	52,03%	0,00%	0,18%	3,27%	0,00%
Basidiomycota	Agaricomycetes	Agaricales	Hygrophoraceae	Hygrocybe	Hygrocybe_glutinipes:SH1216597.08FU	CHEGD	11	1,94%	0,04%	0,00%	1,00%	0,00%	0,00%	0,01%	0,00%
Basidiomycota	Agaricomycetes	Agaricales	Hygrophoraceae	Hygrocybe	Hygrocybe_insipida:SH1574548.08FU	CHEGD	25	10,91%	0,23%	0,01%	8,98%	0,00%	0,00%	0,28%	0,00%
Basidiomycota	Agaricomycetes	Agaricales	Hygrophoraceae	Hygrocybe	Hygrocybe_mucronella:SH1574546.08FU	CHEGD	3	0,19%	0,00%	0,00%	0,17%	0,00%	0,00%	0,01%	0,00%
Basidiomycota	Agaricomycetes	Agaricales	Hygrophoraceae	Hygrocybe	Hygrocybe_nitrata:SH1509921.08FU	CHEGD	4	0,22%	0,00%	0,00%	0,13%	0,00%	0,00%	0,00%	0,06%
Basidiomycota	Agaricomycetes	Agaricales	Hygrophoraceae	Hygrocybe	Hygrocybe_nitrata:SH1521974.08FU	CHEGD	48	518,65%	10,81%	3,18%	65,29%	0,12%	3,50%	1,51%	1,96%
Basidiomycota	Agaricomycetes	Agaricales	Hygrophoraceae	Hygrocybe	Hygrocybe_ovina:SH1557676.08FU	CHEGD	22	93,59%	1,95%	0,00%	48,98%	0,00%	0,00%	0,00%	0,00%
Basidiomycota	Agaricomycetes	Agaricales	Hygrophoraceae	Hygrocybe	Hygrocybe_phaeococcinea:SH1646811.08FU	CHEGD	21	18,53%	0,39%	0,00%	14,84%	0,00%	0,00%	0,10%	0,00%
Basidiomycota	Agaricomycetes	Agaricales	Hygrophoraceae	Hygrocybe	Hygrocybe_punicea:SH1552042.08FU	CHEGD	45	258,01%	5,38%	0,37%	55,43%	0,00%	0,00%	0,41%	0,00%
Basidiomycota	Agaricomycetes	Agaricales	Hygrophoraceae	Hygrocybe	Hygrocybe_russocoriacea:SH1617010.08FU	CHEGD	9	0,83%	0,02%	0,00%	0,36%	0,00%	0,00%	0,00%	0,00%
Basidiomycota	Agaricomycetes	Agaricales	Hygrophoraceae	Hygrocybe	Hygrocybe_sp:SH1522050.08FU	CHEGD	12	2,60%	0,05%	0,00%	1,59%	0,00%	0,00%	0,00%	0,00%
Basidiomycota	Agaricomycetes	Agaricales	Hygrophoraceae	Hygrocybe	Hygrocybe_sp:SH1618541.08FU	CHEGD	3	0,09%	0,00%	0,00%	0,03%	0,00%	0,00%	0,00%	0,03%
Basidiomycota	Agaricomycetes	Agaricales	Hygrophoraceae	Hygrocybe	OTU 227	CHEGD	32	7,26%	0,15%	0,03%	3,35%	0,00%	0,06%	0,08%	0,07%
Basidiomycota	Agaricomycetes	Agaricales	Hygrophoraceae	unclassified_Hygrophoraceae	Hygrophoraceae_sp:SH1148058.08FU		9	0,53%	0,01%	0,00%	0,13%	0,00%	0,00%	0,02%	0,00%
Basidiomycota	Agaricomycetes	Agaricales	Hygrophoraceae	X	OTU 395		15	2,70%	0,06%	0,00%	1,69%	0,00%	0,30%	0,15%	0,05%
Basidiomycota	Agaricomycetes	Agaricales	Inocybaceae	Inocybe	Inocybe_calospora:SH1524172.08FU	ECM	6	0,96%	0,02%	0,00%	0,86%	0,00%	0,00%	0,02%	0,03%
Basidiomycota	Agaricomycetes	Agaricales	Inocybaceae	Inocybe	Inocybe_mixtilis:SH1604103.08FU	ECM	35	23,82%	0,50%	0,04%	9,39%	0,00%	0,93%	1,18%	0,00%
Basidiomycota	Agaricomycetes	Agaricales	Inocybaceae	Inocybe	Inocybe_sp:SH1562204.08FU	ECM	1	0,52%	0,01%	0,00%	0,52%	0,00%	0,00%	0,00%	0,00%





## Mulching has negative impact on fungal and plant diversity in Slovak oligotrophic grasslands

Miroslav Cabon<sup>a,\*</sup>, Dobromil Galv<sup>a</sup>, Andrew P. Detheridge<sup>b</sup>,  
Gareth W. Griffith<sup>b</sup>, Silvia Mar<sup>a</sup>, Slavomir Adamcik<sup>a</sup>

# huby -v<sup>o</sup>sledok

- priemerne 66898 nep<sup>o</sup>rovan<sup>y</sup>ch amplikonov na vzorku
- priemerne 21148 „paired“ amplikonov h<sup>u</sup>bamplicons
- celkovo 1191 hubov<sup>y</sup>ch MOTUs
- 94.8% v<sup>o</sup>šetk<sup>y</sup>ch hubov<sup>y</sup>ch amplikonov identifikovan<sup>y</sup>ch do <sup>o</sup>celade alebo presnej<sup>o</sup>šie
- priemern<sup>y</sup> po<sup>o</sup>čet hubov<sup>y</sup>ch MOTUs na mana<sup>o</sup>ument podobn<sup>y</sup> pre v<sup>o</sup>šetky mana<sup>o</sup>umenty (353–402)

	GR	MOGR	MUAU	MUGR	MUSP	NM	Average all plots
<b>Fungi identified to family [%]</b>	94.7 (2.4)	94.0 (1.8)	94.8 (3.1)	95.1 (1.2)	95.7 (2.9)	95.1 (1.9)	94.8 (2.3)
<b>Fungi identified to genus [%]</b>	94.3 (2.7)	93.4 (1.7)	94.6 (3.2)	94.7 (1.2)	94.9 (3)	94.8 (2)	94.4 (2.5)
<b>Fungi identified to species [%]</b>	86.7 (5.2)	84.2 (4.3)	89.5 (4.8)	88.6 (2.5)	90.6 (4.8)	89.3 (2.8)	88.2 (4.7)
<b>Shannon Index</b>	3.88 (0.49)	4.21 (0.55)	3.49 (0.73)	3.71 (0.62)	3.52 (0.66)	4.05 (0.6)	3.81 (0.67)
<b>Inverse Simpson Index</b>	17.84 (12.43)	23.59 (13.05)	12.03 (9.09)	13.02 (11.48)	11.25 (13.58)	21.88 (13.17)	16.6 (13.15)
<b>Average fungal MOTU richness</b>	353.1 (47.2)	372.3 (83.9)	358.1 (56.5)	385.3 (54.6)	402 (46.8)	401.5 (74.5)	378.7 (65.1)

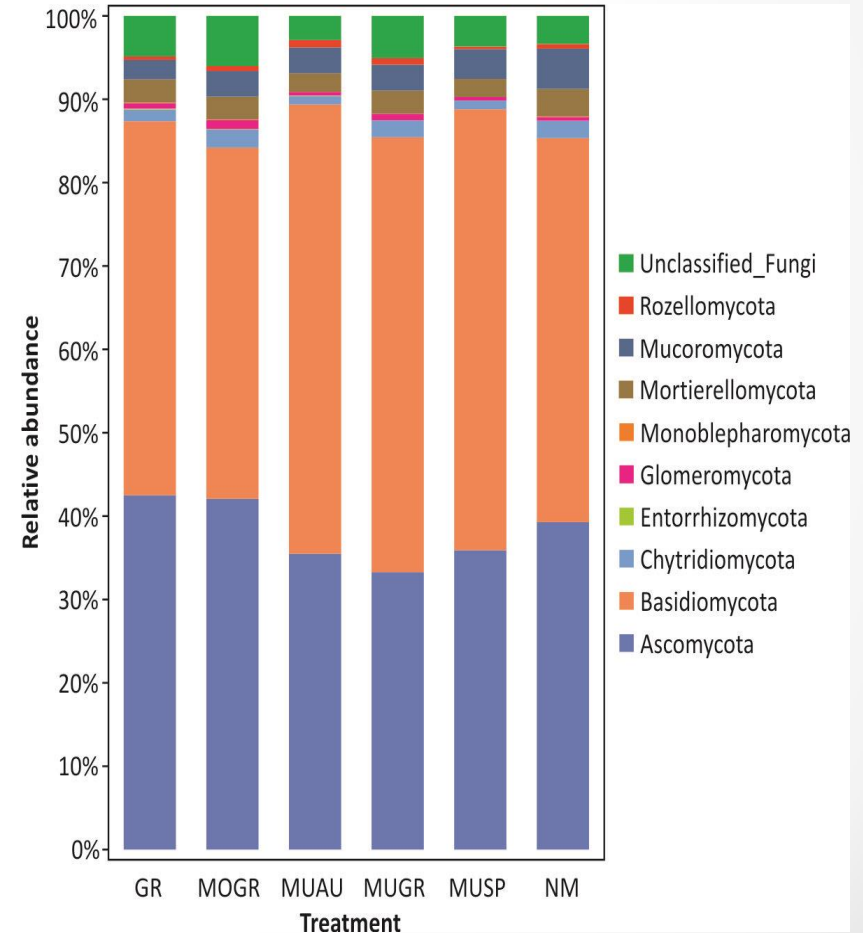


# klasifikácia húb

- viac ako 80% amplikónov Basidiomycota a Ascomycota
- tieto dve skupiny takmer rovnako zastúpené v GR and MOGR

## Mulching has negative impact on fungal and plant diversity in Slovak oligotrophic grasslands

Miroslav Caboň<sup>a,\*</sup>, Dobromil Galváněk<sup>a</sup>, Andrew P. Detheridge<sup>b</sup>,  
Gareth W. Griffith<sup>b</sup>, Silvia Maráková<sup>a</sup>, Slavomír Adamčík<sup>a</sup>

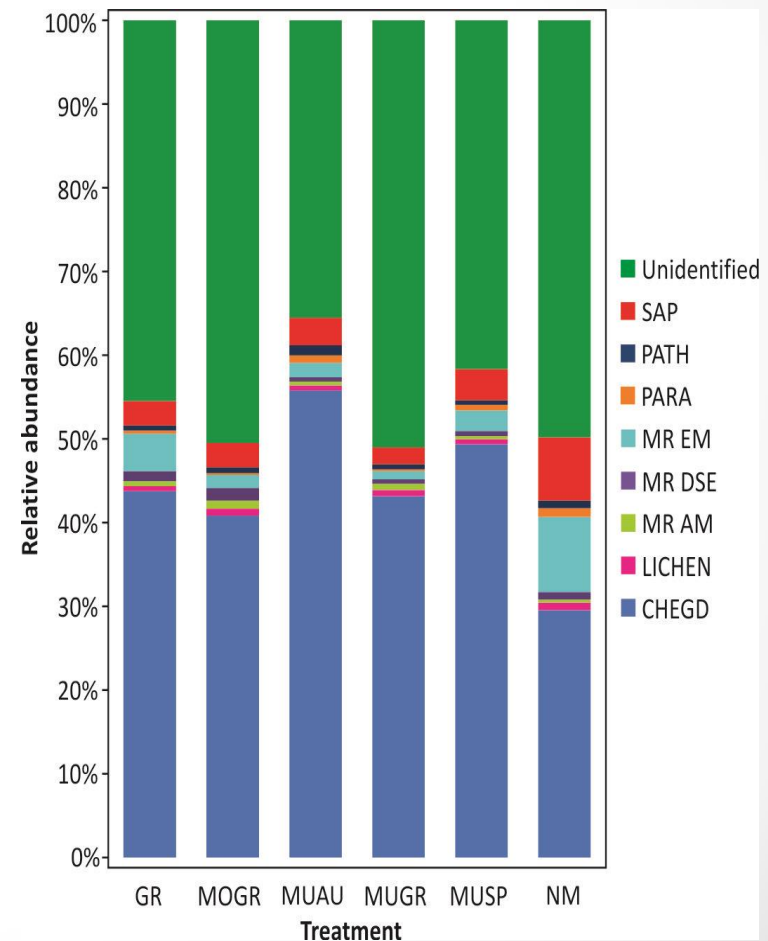


# ekologické funkčné skupiny (guilds)

- najviac početnou (abundant) funkčnou skupinou sú CHEGD huby, zastúpené od 28.8% (NM) do 54.1% (MUAU)
- NM mal najvyššiu relatívnu abundanciu ektomykoríznych (MR EM 8.7%), parazitických (PARA 1.1%) and saprofytických (SAP 7.4%) húb

## Mulching has negative impact on fungal and plant diversity in Slovak oligotrophic grasslands

Miroslav Cabon<sup>a,\*</sup>, Dobromil Galváněk<sup>a</sup>, Andrew P. Detheridge<sup>b</sup>,  
Gareth W. Griffith<sup>b</sup>, Silvia Maráková<sup>a</sup>, Slavomír Adamčík<sup>a</sup>



## Clavariaceae



## Hygrocybe



## Entoloma



## Geoglossaceae



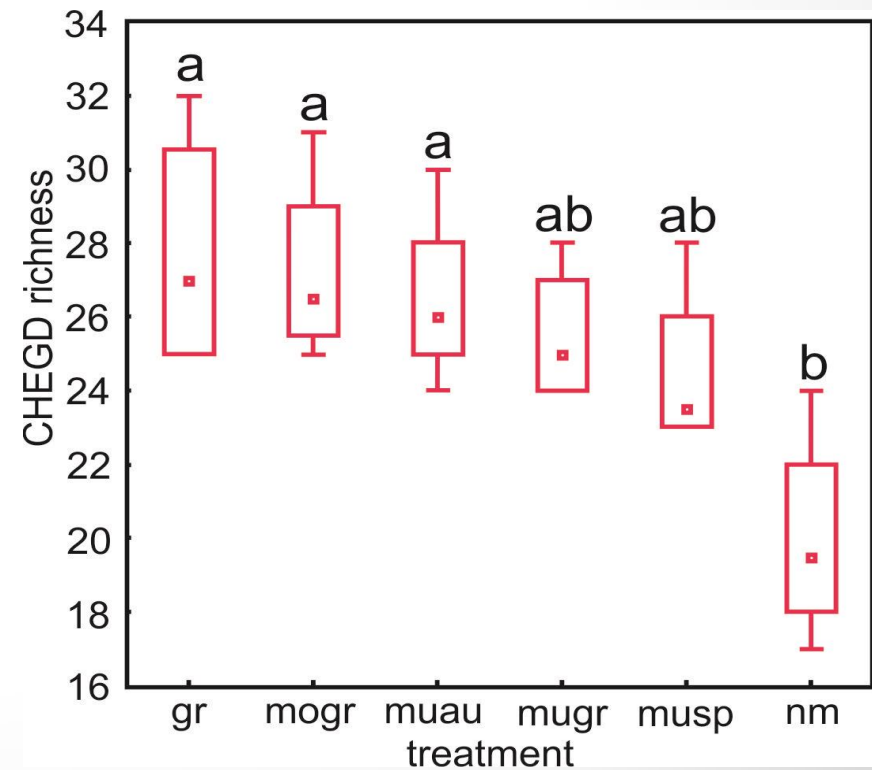
## Dermoloma



List of recognized OTUs	Frequency of occurrence					
	GR	MOGR	MUAU	MUGR	MUSP	NM
<i>Geoglossum atropurpureum</i>	0	1	1	1	1	0
<i>Geoglossum sp1</i>	0	0	1	2	1	0
<i>Geoglossum sp2</i>	4	4	4	4	4	4
Geoglossaceae	3	0	1	0	2	1
<i>Hemileucoglossum sp1</i>	1	0	2	0	1	0
<i>Trichoglossum sp1</i>	2	4	3	4	2	0
<i>Trichoglossum sp2</i>	0	1	0	0	1	0
<i>Microglossum olivaceum</i>	2	1	3	3	1	0
<i>Microglossum sp1</i>	3	4	3	3	3	2
<i>Camarophyllopsis schulzeri</i>	4	4	4	4	3	4
<i>Clavaria falcata</i>	4	4	4	4	4	4
<i>Clavaria flavipes</i>	0	1	2	1	1	0
<i>Clavaria fragilis</i>	2	0	1	2	0	0
<i>Clavaria fumosa</i>	0	2	4	2	1	0
<i>Clavaria sp1</i>	0	2	0	0	0	1
Clavariaceae sp2	0	0	0	1	2	2
Clavariaceae sp3	0	1	3	3	1	3
Clavariaceae sp4	1	0	0	0	0	0
Clavariaceae sp5	4	3	3	3	3	1
Clavariaceae sp6	0	2	1	0	1	1
Clavariaceae sp7	4	4	4	4	4	4
<i>Clavulinopsis helvola</i>	1	2	2	3	3	2
<i>Clavulinopsis sp1</i>	1	0	0	1	0	0
<i>Clavulinopsis luteoalba</i>	0	0	0	1	0	0
<i>Clavulinopsis sp2</i>	0	0	0	0	1	0
<i>Clavulinopsis sp3</i>	3	1	2	1	2	0
<i>Clavulinopsis sp4</i>	1	0	0	0	0	0
<i>Ramariopsis sp1</i>	4	4	4	4	4	4
<i>Ramariopsis sp2</i>	4	3	4	4	4	1
<i>Entoloma ameides</i>	0	0	0	0	1	1
Entolomataceae sp1	4	4	2	4	1	1
<i>Entoloma sp1</i>	3	2	2	0	1	1
<i>Entoloma exile</i>	1	0	1	0	1	0
<i>Entoloma formosum</i>	0	0	0	1	0	0
<i>Entoloma glaucobasis</i>	1	3	0	2	1	0
<i>Entoloma griseocyaneum</i>	4	4	0	2	0	0
<i>Entoloma chalybeum</i>	4	4	3	4	3	0
<i>Entoloma infula</i>	0	0	0	0	0	1
<i>Entoloma madidum</i>	1	1	3	1	0	0
<i>Entoloma mougeotii</i>	0	0	0	0	2	1
<i>Entoloma ochreoprunuloides</i>	0	0	0	0	0	1
<i>Entoloma prunuloides</i>	1	0	0	0	1	1
<i>Hygrophoraceae sp1</i>	0	0	0	1	0	1
<i>Gliophorus psittacinus</i>	1	3	4	3	2	4
<i>Gliophorus sp</i>	3	4	3	3	2	4
<i>Hygrocybe cantharellus</i>	1	2	0	2	0	0
<i>Hygrocybe ceracea</i>	2	0	0	0	0	0
<i>Hygrocybe citrinovirens</i>	1	1	1	0	3	2
<i>Hygrocybe coccinea</i>	4	4	4	4	4	4
<i>Hygrocybe conica</i>	3	2	4	3	1	1
<i>Hygrocybe chlorophana</i>	4	4	4	4	4	4
<i>Hygrocybe insipida</i>	3	1	2	0	2	1
<i>Hygrocybe nitrata</i>	4	4	4	4	4	4
<i>Hygrocybe ovina</i>	1	1	2	0	4	4
<i>Hygrocybe nigrescens</i>	0	1	0	0	0	0
<i>Hygrocybe phaeococcinea</i>	4	4	1	1	2	2
<i>Hygrocybe punicea</i>	4	4	4	4	4	4
<i>Hygrocybe sp1</i>	0	0	1	0	0	0
<i>Hygrocybe sp2</i>	0	0	0	0	2	0
<i>Hygrocybe sp3</i>	4	2	0	0	0	0
<i>Hygrocybe sp4</i>	1	1	0	0	0	0
Hygrophoraceae sp2	2	2	2	0	1	2
Hygrophoraceae sp3	0	2	1	1	0	0
<i>Dermoloma sp1</i>	1	1	1	2	1	1
<i>Dermoloma sp2</i>	1	0	0	0	0	0
<i>Pseudobaespora pyrifer</i>	0	0	1	0	2	1

# CHEGD fungi

- nekultivovatelné
- dominujú v prirodzených rastlinných spoločnosťach
- citlivé na manažment





## Mulching has negative impact on fungal and plant diversity in Slovak oligotrophic grasslands



Miroslav Cabon<sup>a,\*</sup>, Dobromil Galv<sup>a</sup>, Andrew P. Detheridge<sup>b</sup>,  
Gareth W. Griffith<sup>b</sup>, Silvia Mar<sup>a</sup>, Slavomir Adamcik<sup>a</sup>

- 121 MOTUs CHEGD huby
- 51 Clavariaceae
- 23 Hygrophoraceae
- 30 Entolomataceae
- 10 Geoglossaceae,
- 4 Leotiaceae
- 3 Tricholomataceae
- Clavariaceae v<sup>ždy</sup> s najv<sup>ä</sup>čšou species richness, nasledované Hygrophoraceae alebo Entolomataceae
- najv<sup>ä</sup>čšiu relative (sequence) abundance mali Hygrophoraceae, od 24.6% (NM) do 42.4% (MUSP)

# CHEGD huby štatistika

	GR	MOGR	MUAU	MUGR	MUSP	NM	Average all plots
<b>Clavariaceae</b>	18.3/6.7	22.8/7.8	21.5/6.1	21.5/7.3	15/3.1	17.8/2.8	19.5/5.7
<b>Hygrophoraceae</b>	14.5/25.7	12.5/28.7	11.8/40.5	11.3/30.6	13.8/42.4	11.8/24.6	12.6/32.2
<b>Entolomataceae</b>	12.3b/2.4	14b/2.4	11.3ab/0.7	12.8b/1.2	11ab/0.5	6.8a/0.5	11.3/1.3
<b>Geoglossaceae</b>	4.8ab/3.7	3.5a/2.8	5ab/2.0	3.3a/2.6	6.3b/2.5	4.3ab/1.4	4.5/2.5
<b>Tricholomataceae</b>	1.8/0.5	1/0.3	1.5/0.6	1.3/0.3	2/0.1	1.8/0.2	1.5/0.3
<b>Leotiaceae</b>	2.8a/5.9	2.3ab/0.8	3.25a/5.3	3a/1.8	2.3ab/0.7	1.3b/0.1	2.5/2.4
<b>Shannon Index</b>	2.74 (0.23)	2.64 (0.35)	2.11 (0.19)	2.53 (0.16)	1.78 (0.09)	2.15 (0.12)	2.33 (0.19)
<b>Inverse Simpson Index</b>	8.39 (1.59)	7.17 (0.87)	4.63 (0.54)	7.0 (0.36)	2.94 (0.29)	4.32 (0.45)	5.74 (0.68)
<b>Average CHEGD MOTU richness</b>	54.25 (1.79)	56 (8.8)	54.25 (7.56)	53 (4.18)	50.25 (3.49)	43.25 (1.5)	51.88 (6.73)

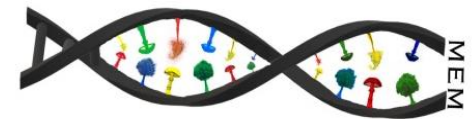
# CHEGD huby sú najviac abundantné OTU

*Neohygrocybe nitrata*  
priemerná relatívna  
abundancia na manažment  
10.81%

*Hygrocybe chlorophana*  
5.96%



*Hygrocybe punicea* 5.38%



Mulching has negative impact on fungal and plant diversity in  
Slovak oligotrophic grasslands

Miroslav Cabon<sup>a,\*</sup>, Dobromil Galváněk<sup>a</sup>, Andrew P. Detheridge<sup>b</sup>,  
Gareth W. Griffith<sup>b</sup>, Silvia Maráková<sup>a</sup>, Slavomír Adamčík<sup>a</sup>



# most abundant MOTUs – ostatné CHEGD huby

## Mulching has negative impact on fungal and plant diversity in Slovak oligotrophic grasslands



Miroslav Cabon<sup>a,\*</sup>, Dobromil Galv<sup>a</sup>nek<sup>a</sup>, Andrew P. Detheridge<sup>b</sup>,  
Gareth W. Griffith<sup>b</sup>, Silvia Mar<sup>a</sup>kov<sup>a</sup>, Slavom<sup>r</sup> Adam<sup>o</sup>o<sup>a</sup>

Clavariaceae =  
*Camarophyllopsis schulzeri*  
(1.53%)



Entolomataceae MOTU = *E.*  
*cf. bloxamii* (0.3%)

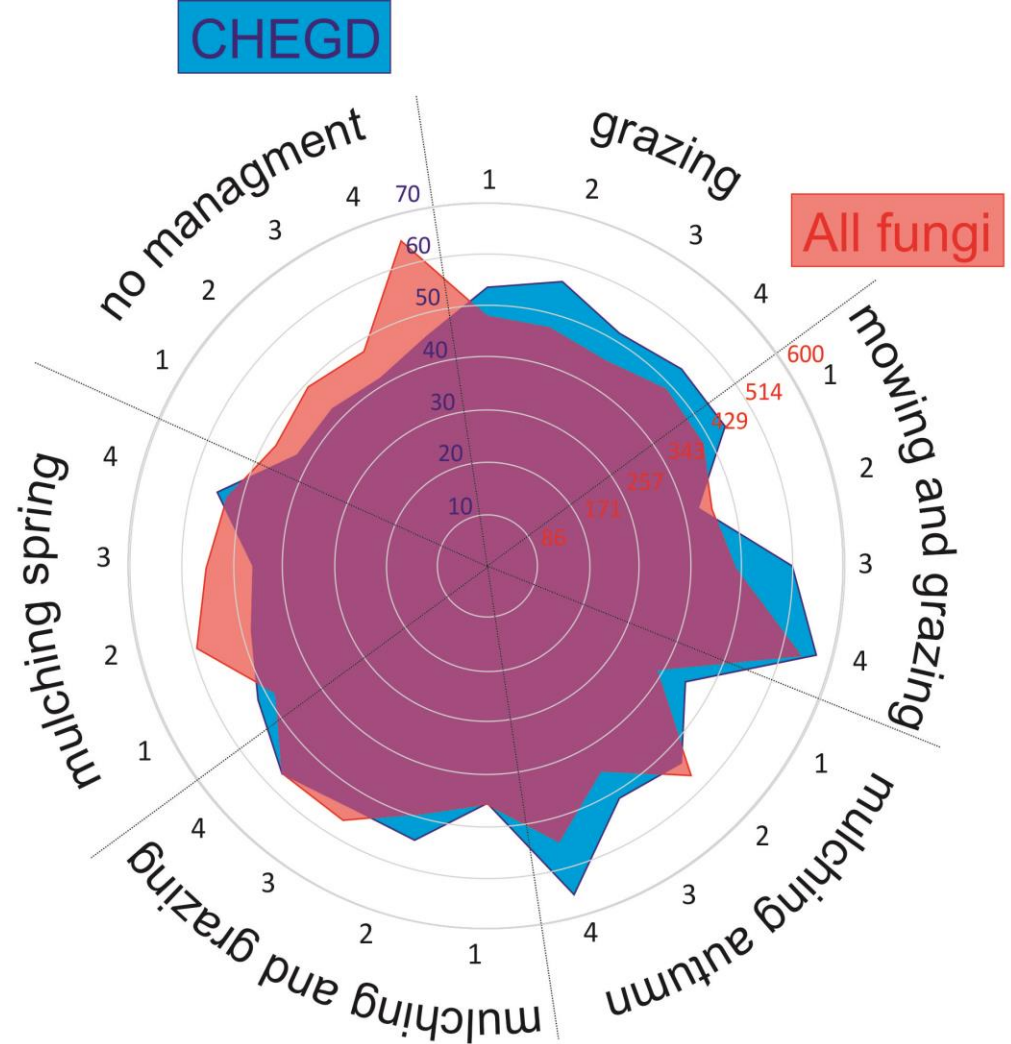


Geoglossaceae =  
*Geoglossum*  
*barlae* (1.97%)

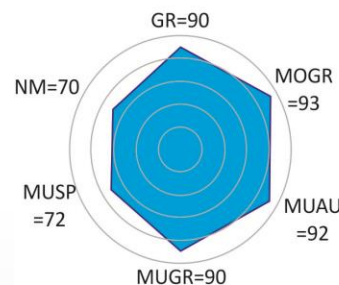


# CHEGD porovnanie so všetkými hubami

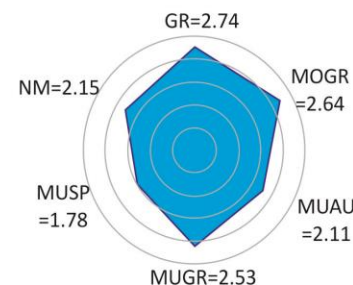
- NM a MUSP s najnižšou CHEGD richness
- relatívny pomer všetkých húb a CHEGD richness bol najvyšší v NM a MUSP
- GR majú najvyšší pomer CHEGD húb v pomere ku kompletnej hubovej diverzite



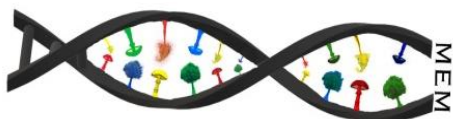
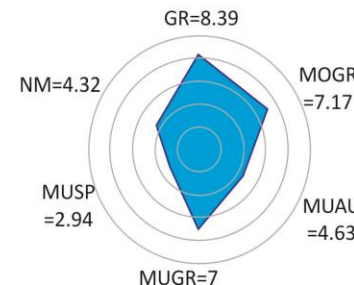
CHEGD species richness



CHEGD Shannon index



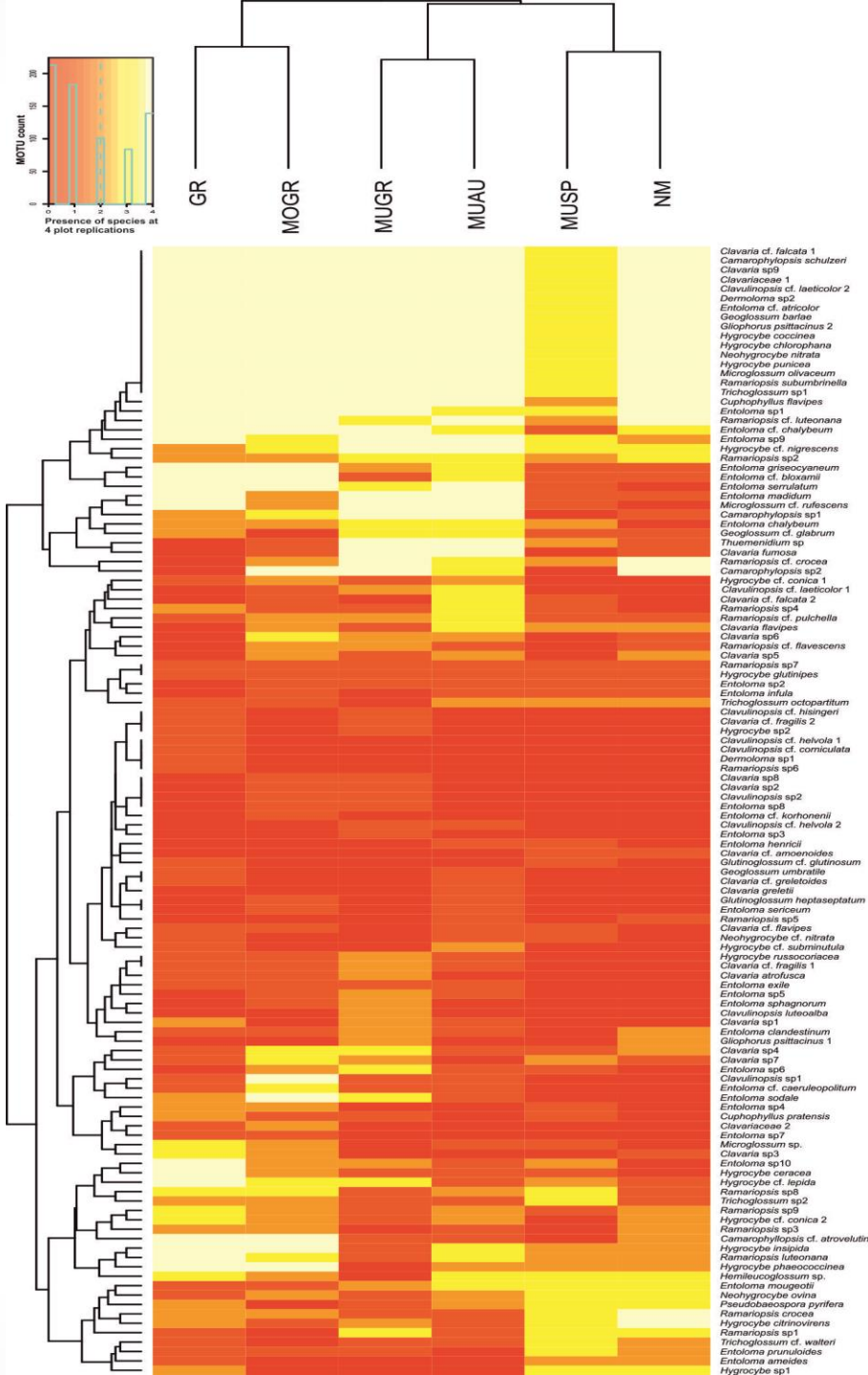
CHEGD Inverse Simpson index



MEM

# CHEGD species richness

- žiadna CHEGD MOTU sa nevyskytovala na všetkých 24 výskumných plochách
- 40 MOTU zaznamenaných na aspoň jednej ploche každého manažmentu
- desať CHEGD MOTU zaznamenané iba z jedného manažmentu a deväť z nich iba z jedinej lokality





# CHEGD relatívna abundancia

Hierarchické zhlukovanie založené na abundancii amplikónov húb

- manažmenty sú zoskupené do troch skupín na základe manažmentových štýlov, (mulčovanie, pasenie a no management)



GfÖ

GfÖ Ecological Society of Germany,  
Austria and Switzerland

Basic and Applied Ecology 52 (2021) 24–37

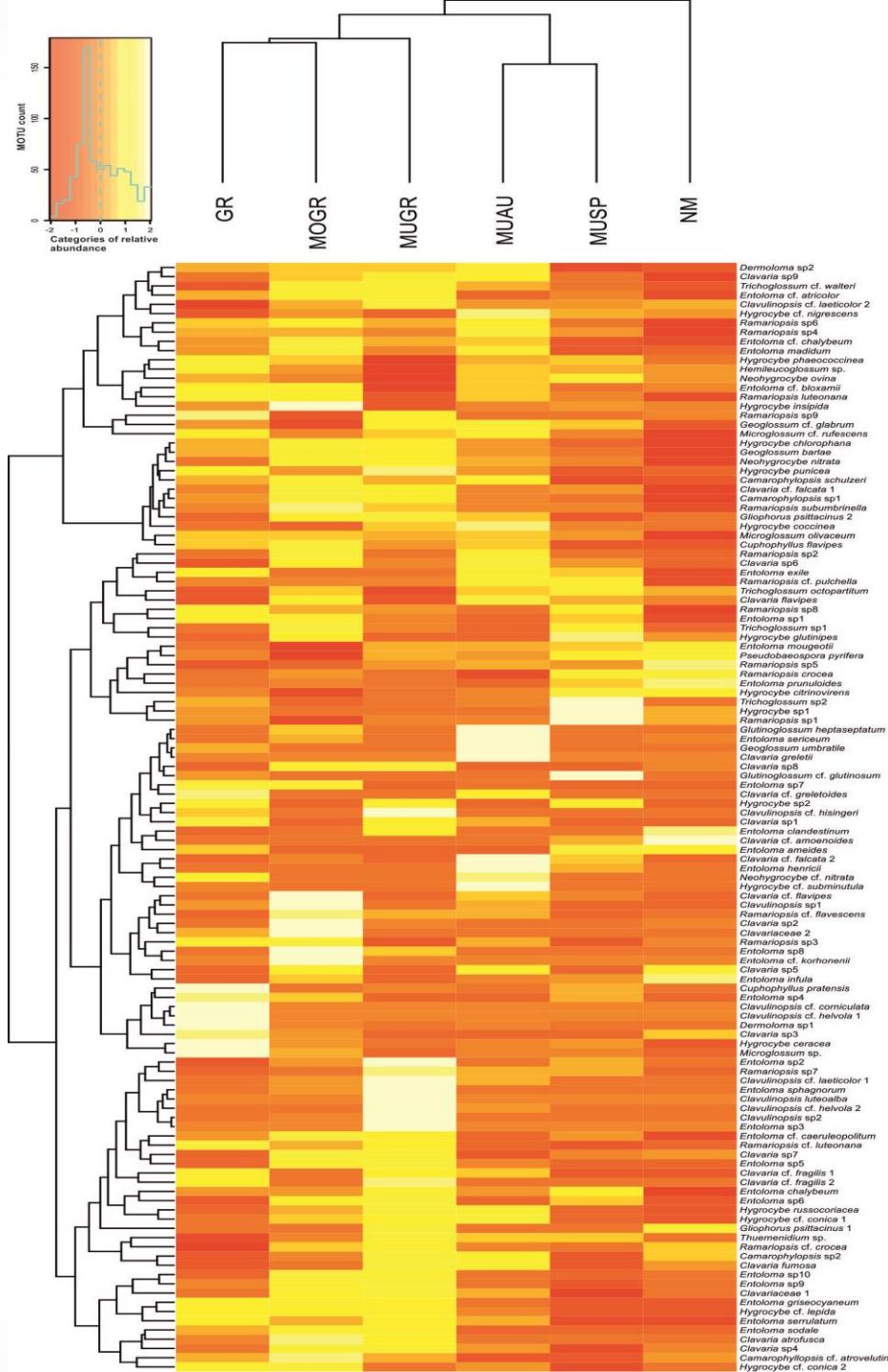
Basic and  
Applied Ecology

www.elsevier.com/locate/baaec



Mulching has negative impact on fungal and plant diversity in Slovak oligotrophic grasslands

Miroslav Cabon<sup>a,\*</sup>, Dobromil Galváněk<sup>a</sup>, Andrew P. Detheridge<sup>b</sup>,  
Gareth W. Griffiths<sup>b</sup>, Silvia Maráková<sup>a</sup>, Slavomír Adamčík<sup>a</sup>



# cievnaté rastliny

- celkovo 97 druhov
- druhová bohatosť na manažment od 61 do 76 druhov
- (total 1191 hubových MOTUs)



## Mulching has negative impact on fungal and plant diversity in Slovak oligotrophic grasslands



Miroslav Cabon<sup>a,\*</sup>, Dobromil Galvánek<sup>a</sup>, Andrew P. Detheridge<sup>b</sup>,  
Gareth W. Griffith<sup>b</sup>, Silvia Maráková<sup>a</sup>, Slavomír Adamčík<sup>a</sup>

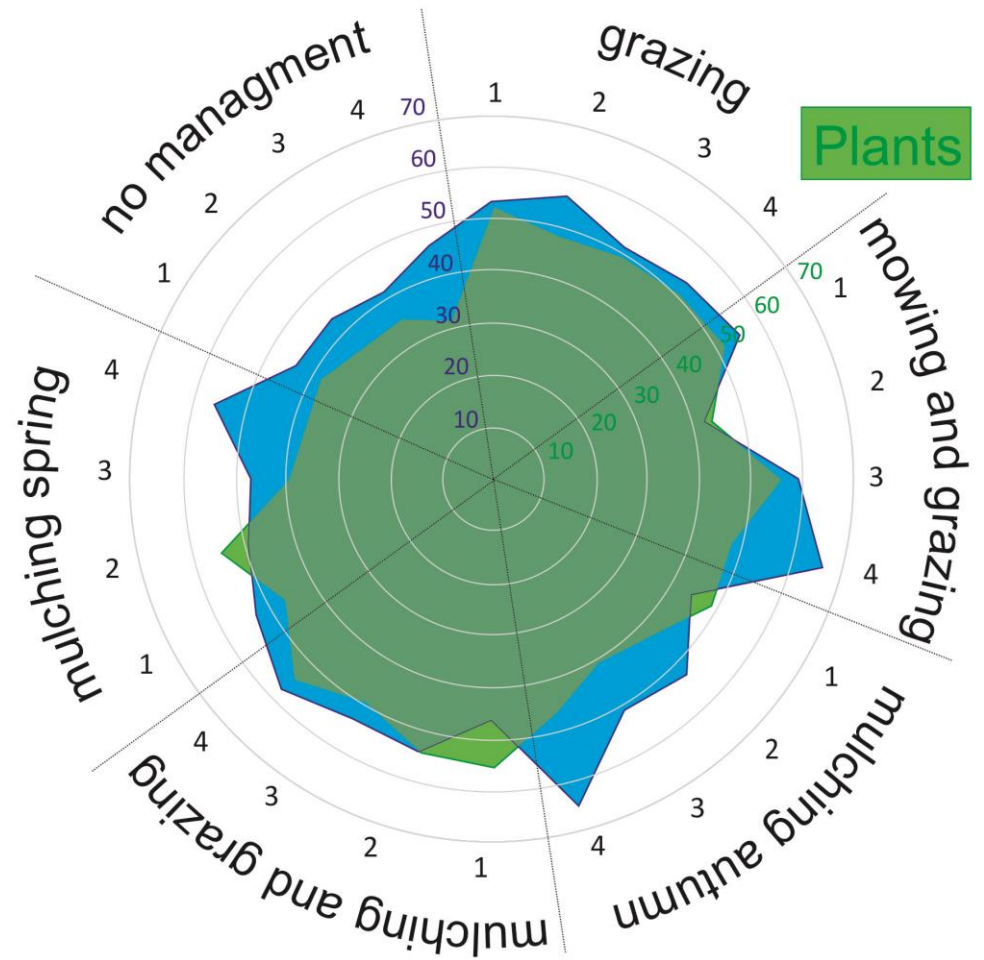
	GR	MOGR	MUAU	MUGR	MUSP	NM	Average all plots
<b>Shannon Index</b>	3.13b (0.17)	3.25b (0.09)	3.15b (0.22)	3.32b (0.15)	3.16b (0.16)	2.37a (0.23)	3.06 (0.36)
<b>Inverse Simpson Index</b>	14.21ab (3.81)	15.62ab (2.39)	12.50ab (5.48)	15.40ab (4.11)	14.74b (4.05)	5.31a (2.11)	11.21 (5.25)
<b>Average plant species richness</b>	50.8b (1.5)	50b (4.5)	45ab (3.2)	54ab (2.4)	45b (6.7)	35.8a (2.5)	46.8 (7)

# CHEGD vs. cievnaté rastliny

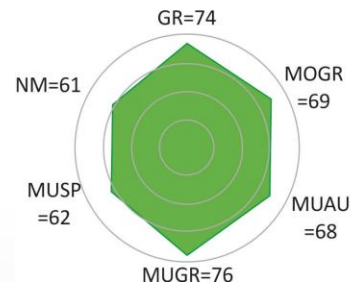
- cievnaté rastlina aj CHEGD huby ukazujú vyššiu druhovú diverzitu pre pasenie (pozitívna kontrola)
- obe skupiny nižšiu pre NM manažment (negatívna kontrola)

CHEGD

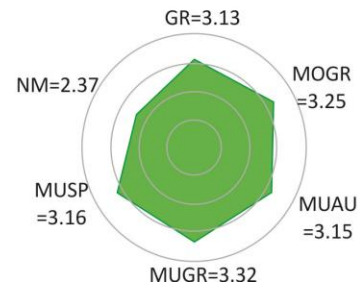
Plants



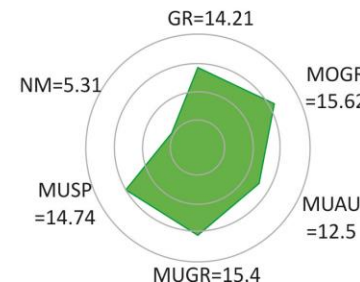
Plants species richness



Plants Shannon index



Plants Inverse Simpson index



MEM

# korelačné analýzy

## Mulching has negative impact on fungal and plant diversity in Slovak oligotrophic grasslands

Miroslav Cabon<sup>a,\*</sup>, Dobromil Galvanek<sup>a</sup>, Andrew P. Detheridge<sup>b</sup>,  
Gareth W. Griffith<sup>b</sup>, Silvia Marakova<sup>a</sup>, Slavomir Adamcik<sup>a</sup>



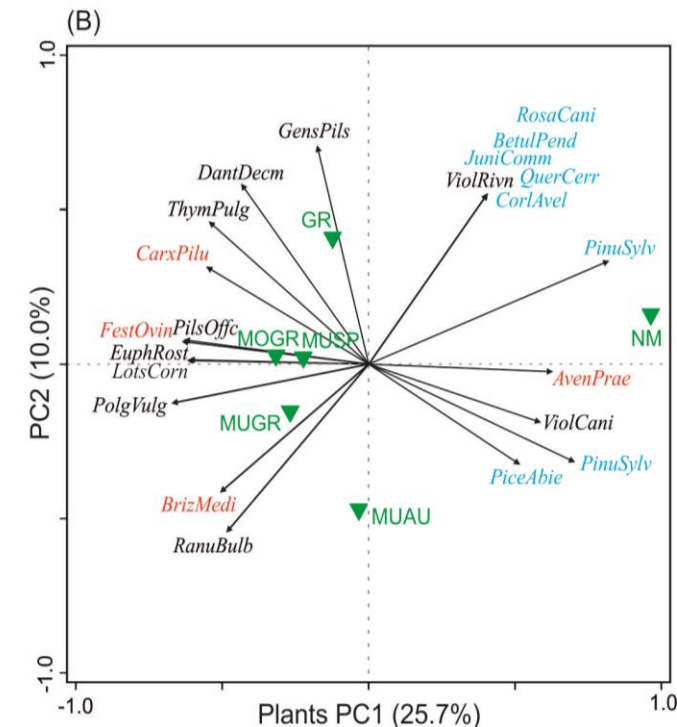
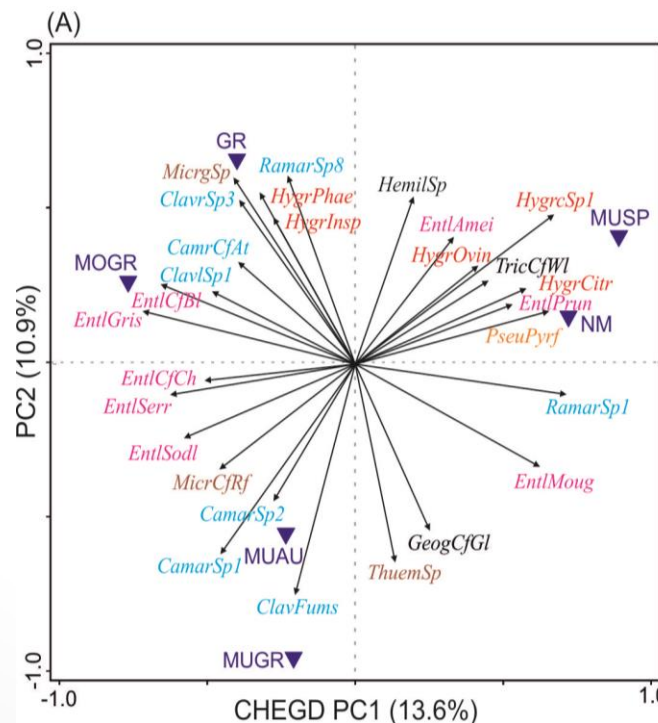
- PERMANOVA párové porovnanie manažmentov založené na prezencii MOTU CHEDG húb na jednotlivých plochách

### PERMANOVA

		CHEDG				
		GR				
PLANTS		0.8791	1	0.8778	0.2002	0.0256
	<b>MOGR</b>	0.7501	0.8516	0.7153	0.3709	0.1138
		0.0592	0.1849	1	0.5804	0.0541
	<b>MUAU</b>	0.12	0.2542	0.0297	0.4814	0.0583
		0.2306	0.2852	0.9374	0.1099	0.0571
	<b>MUSP</b>	0.0291	0.0287	0.029	0.0326	0.0583
						<b>NM</b>

- PCA analýza odhalila podobnú štruktúru spoločenstiev CHEDG húb NM a MUSP
- PCA cievnatých rastlín ukázala izolovanú pozíciu NM

### PCA



# Závery

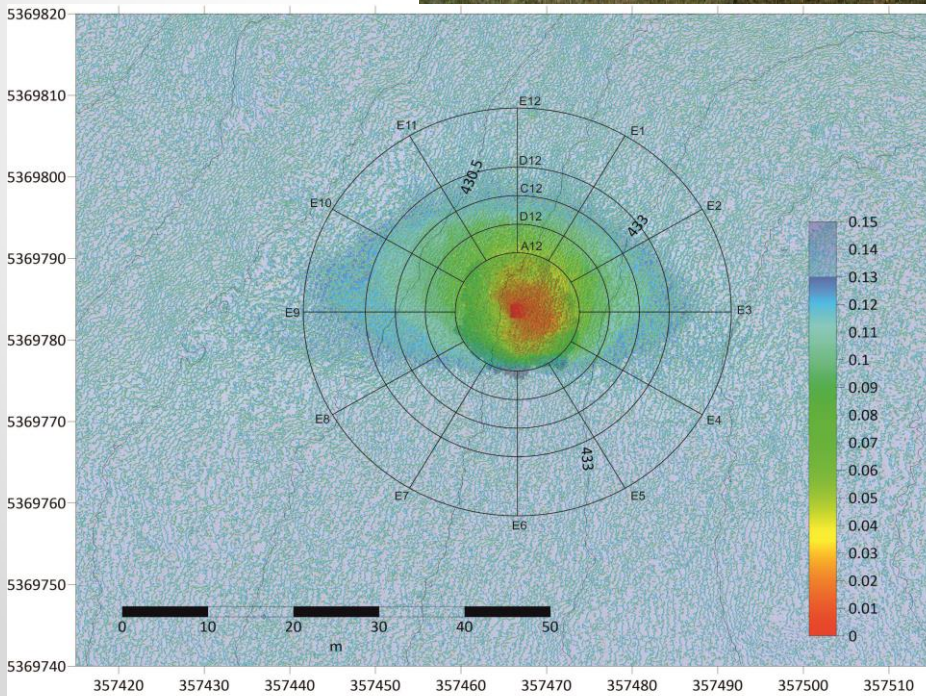
- mulčovanie nie je vhodnou náhradou za tradičné manažmentové postupy
- všetky manažmentové postupy vrátane mulčovania a NM prispeli nejakými unikátnymi CHEGD MOTU jednotkami
- kombinácia všetkých týchto manažmentových postupov v jednej oblasti by prispela k zvýšeniu celkovej diverzity CHEGD húb
- CHEGD huby sa ukázali byť vhodnou skupinou na pochopenie manažmentových vplyvov v ochrane prírody

## Mulching has negative impact on fungal and plant diversity in Slovak oligotrophic grasslands

Miroslav Cabon<sup>a,\*</sup>, Dobromil Galv<sup>ánek</sup><sup>a</sup>, Andrew P. Detheridge<sup>b</sup>,  
Gareth W. Griffith<sup>b</sup>, Silvia Mar<sup>áková</sup><sup>a</sup>, Slavomír Adam<sup>čík</sup><sup>a</sup>



# Strom a krajina – STRAKA (APVV 20-257)





laboratórium  
Molekulárnej  
Ekológie a  
Metagenomiky

... práca s e DNA dáva  
ekológii nový rozmer



Centrum biológie rastlín a  
biodiverzity SAV